

# **ВСЕРОССИЙСКАЯ АКАДЕМИЯ ВНЕШНЕЙ ТОРГОВЛИ**

## **Факультет международного бизнеса**

### **Предметно-аналитическая справка по эконометрике**

на тему: «Исследование стоимости фиксированного набора потребительских товаров и услуг»

Работу выполнил:

Студент 1 курса ФМБ

Варламов Иван

Научный руководитель:

доктор физмат наук,

профессор Д.В. Филиппов

Работа сдана на кафедру

« » \_\_\_\_\_ 2019г.

Оценка работы

\_\_\_\_\_ 2019г.  
« » \_\_\_\_\_

**Москва 2019**

## **1. Подбор данных для анализа**

Цель проводимого исследования – построение зависимости стоимости фиксированного набора потребительских товаров и услуг от следующих параметров:

- Курс национальной валюты по отношению к доллару США;
- Доллар к евро обменный курс;
- Мировая цена на уран;
- Экспорт сырой нефти из Российской Федерации;
- Экспорт нефтепродуктов из Российской Федерации;
- Экспорт газа природного в газообразном состоянии из Российской Федерации;
- Цена на сырую нефть: Западный Техас, Средний уровень (WTI);
- Экспорт электроэнергии из Российской Федерации;
- Количество сотрудников: Горное дело и лесозаготовка: добыча нефти и газа.

### **1.1 Временной ряд №1 – XXX**

XXX – стоимость фиксированного набора потребительских товаров и услуг; данные представлены в абсолютных значениях в рублях [рубль].  
Источник: <https://fedstat.ru/indicator/31052>.

### **1.2 Временной ряд №2 – RU**

RU – National Currency to US Dollar Exchange Rate: Average of Daily Rates for the Russia Federation (CCUSMA02RUM618N) – Курс национальной валюты по отношению к доллару США: средний дневных курсов для Российской федерации. Данные представлены в [рубль/\$]. Источник: <https://fred.stlouisfed.org/series/CCUSMA02RUM618N>

### **1.3 Временной ряд №3 – EUR**

EUR – U.S. / Euro Foreign Exchange Rate (EXUSEU) – Доллар к евро обменный курс. Данные представлены в [\$/€]. Источник: <https://fred.stlouisfed.org/series/EXUSEU>.

### **1.4 Временной ряд №4 – PURAN**

PURAN – Global price of Uranium (PURANUSDM) – Мировая цена на уран, данные представлены в абсолютных значениях в долларах за фунт [\$/lb]. Источник: <https://fred.stlouisfed.org/series/PURANUSDM>.

### **1.5 Временной ряд №5 – EXOIL**

EXOIL – Экспорт сырой нефти из Российской Федерации. Данные представлены в абсолютных значениях в тысячах долларов [ $10^3$  \$]. Источник: <https://fedstat.ru/indicator/37393>.

### **1.6 Временной ряд №6 – PCRUD**

PCRUD – Экспорт нефтепродуктов из Российской Федерации. Данные представлены в абсолютных значениях в тысячах долларов [ $10^3$  \$]. Источник: <https://fedstat.ru/indicator/37393>.

### **1.7 Временной ряд №7 – PGAS**

PGAS – Global price of Natural gas, EU (PNGASEUUSDM) – цена на природный газ. Данные представлены в абсолютных значениях в долларах за  $m^3$  [\$/ $m^3$ ]. Источник: <https://fred.stlouisfed.org/series/PNGASEUUSDM>.

### **1.8 Временной ряд №8 – POIL**

POIL – Crude Oil Prices: West Texas Intermediate (WTI) - Cushing, Oklahoma (MCOILWTICO) – Цены на сырую нефть: Западный Техас, Средний уровень (WTI) - Кушинг, Оклахома. Данные представлены в абсолютных значениях в долларах за баррель [\$/bbls]. Источник: <https://fred.stlouisfed.org/series/MCOILWTICO>

### **1.9 Временной ряд №9 – EENER**

PGAS – Экспорт электроэнергии из Российской Федерации. Данные представлены в абсолютных значениях в тысячах долларов [ $10^3$  \$]. Источник: <https://fedstat.ru/indicator/37393>.

### **1.10 Временной ряд №10 – EMP**

EMP – All Employees: Mining and Logging: Oil and Gas Extraction (CES1021100001) – Все сотрудники: Горное дело и лесозаготовка: добыча нефти и газа. Данные в абсолютных значениях в тысячах человек [ $10^3$  человек]. Данные для США. Источник: <https://fred.stlouisfed.org/series/CES1021100001>.

## 1.11 Описательная статистика

Таблица 1.1 – Описательная статистика 1

Временной ряд	Вариабельность	Среднее	Медиана	Минимум	Максимум
XXX	0.29798	10728	10237	5421,2	16122
RU	0.38679	42,113	32,628	23,351	77,217
EUR	0.10217	1,2782	1,2993	1,0545	1,5759
PURAN	0.48840	44,390	40,778	18,568	136,22
EXOIL	0.29831	$1,1064 \cdot 10^7$	$1,0705 \cdot 10^7$	$4,4275 \cdot 10^6$	$1,7893 \cdot 10^7$
PCRUD	0.33221	$6,4090 \cdot 10^6$	$6,0286 \cdot 10^6$	$2,7849 \cdot 10^6$	$1,2550 \cdot 10^7$
PGAS	0.32641	8,8052	8,5600	3,4830	16,020
POIL	0.30886	74,239	74,120	30,320	133,88
EENER	0.32514	73717	69077	30419	$1,3863 \cdot 10^5$
EMP	0.11516	168,32	162,60	139,70	200,80

Таблица 1.2 – Описательная статистика 2

Временной ряд	Ст. откл.	Ассиметрия	Эксцесс	5%	95%	IQ
XXX	3196,6	0,090832	-1,2879	5789,2	15578	5741,3
RU	16,289	0,54502	-1,4056	24,490	66,981	29,786
EUR	0,13060	0,078805	-0,87420	1,0808	1,4856	0,22380
PURAN	21,680	1,7800	4,0397	20,679	90,387	23,489
EXOIL	$3,3004 \cdot 10^6$	0,13955	-1,0847	$6,3433 \cdot 10^6$	$1,6608 \cdot 10^7$	$5,8565 \cdot 10^6$
PCRUD	$2,1291 \cdot 10^6$	0,46486	-0,44625	$3,4277 \cdot 10^6$	$1,0024 \cdot 10^7$	$3,4357 \cdot 10^6$
PGAS	2,8742	0,24654	-0,37266	4,0700	14,360	4,3325
POIL	22,929	0,19546	-0,84884	41,474	106,40	41,040
EENER	23968	0,73107	0,10778	40121	$1,2259 \cdot 10^5$	27674
EMP	19,383	0,24159	-1,3959	142,10	198,10	36,600

## 1.12 Временные ряды

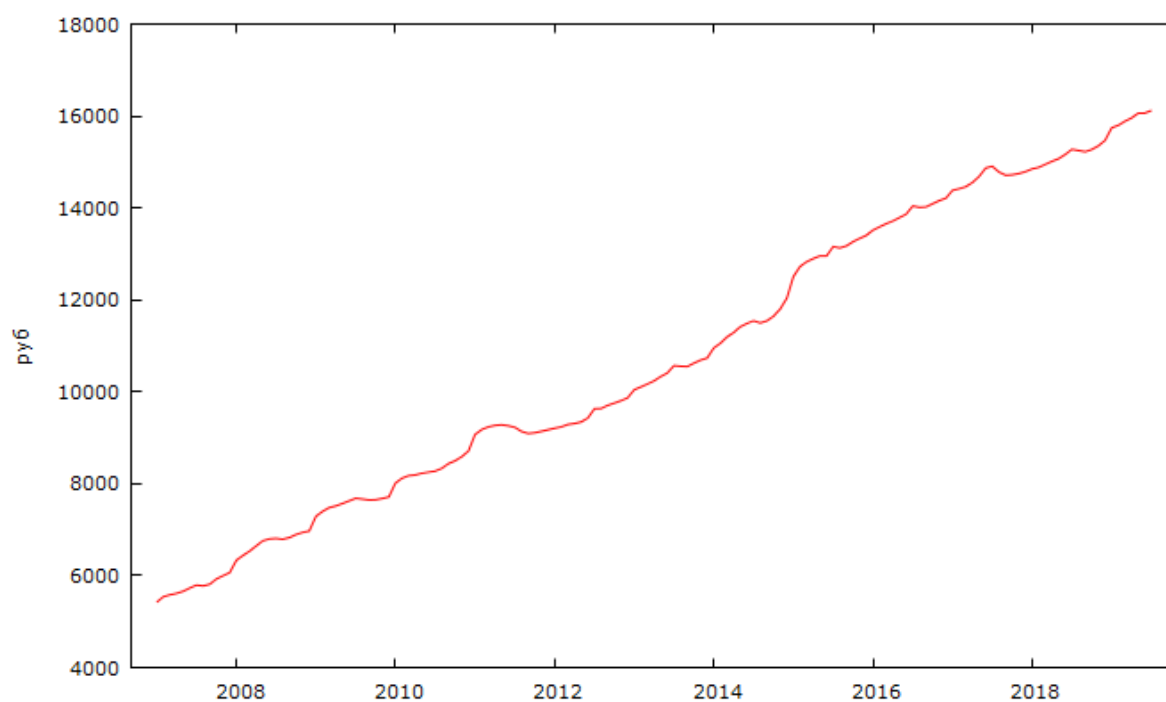


Рисунок 1.1 – Временной ряд XXX

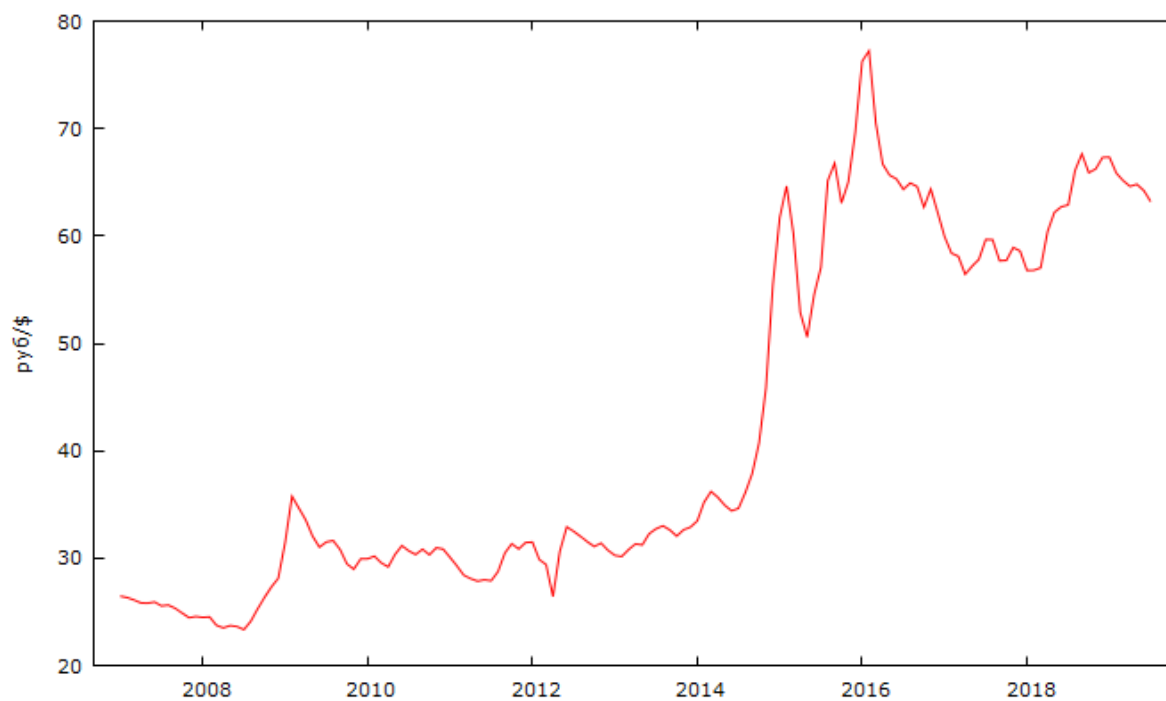


Рисунок 1.2 – Временной ряд RU



Рисунок 1.3 – Временной ряд EUR

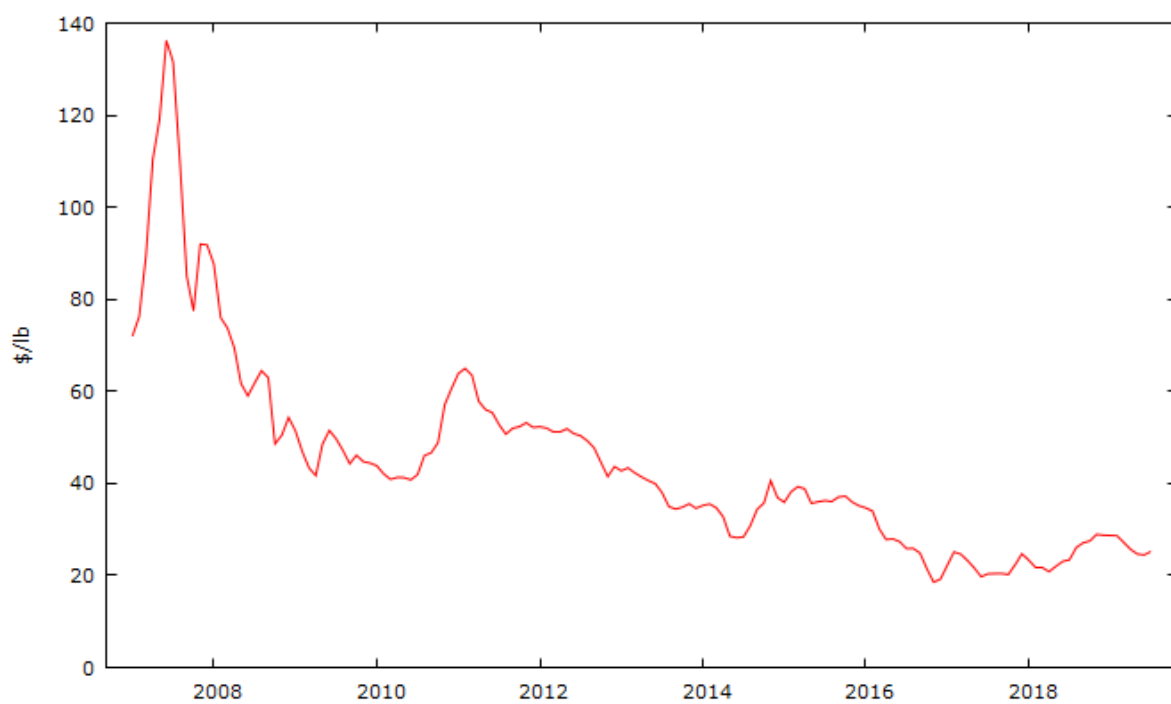


Рисунок 1.4 – Временной ряд PURAN

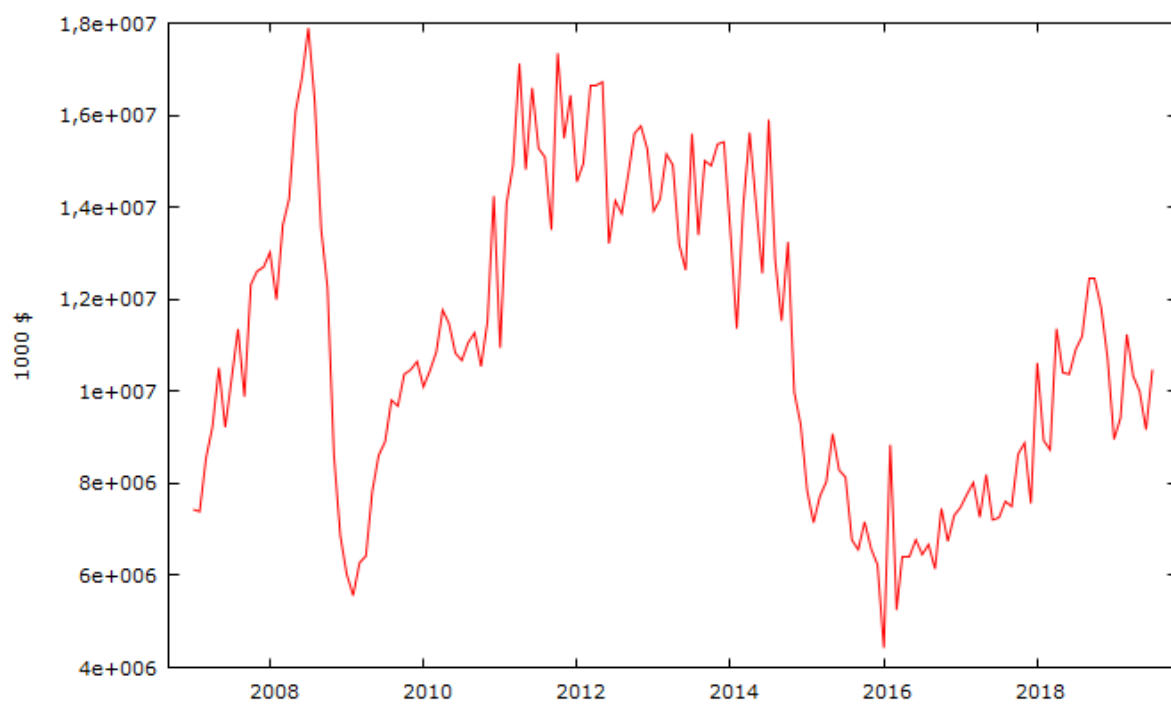


Рисунок 1.5 – Временной ряд EXOIL

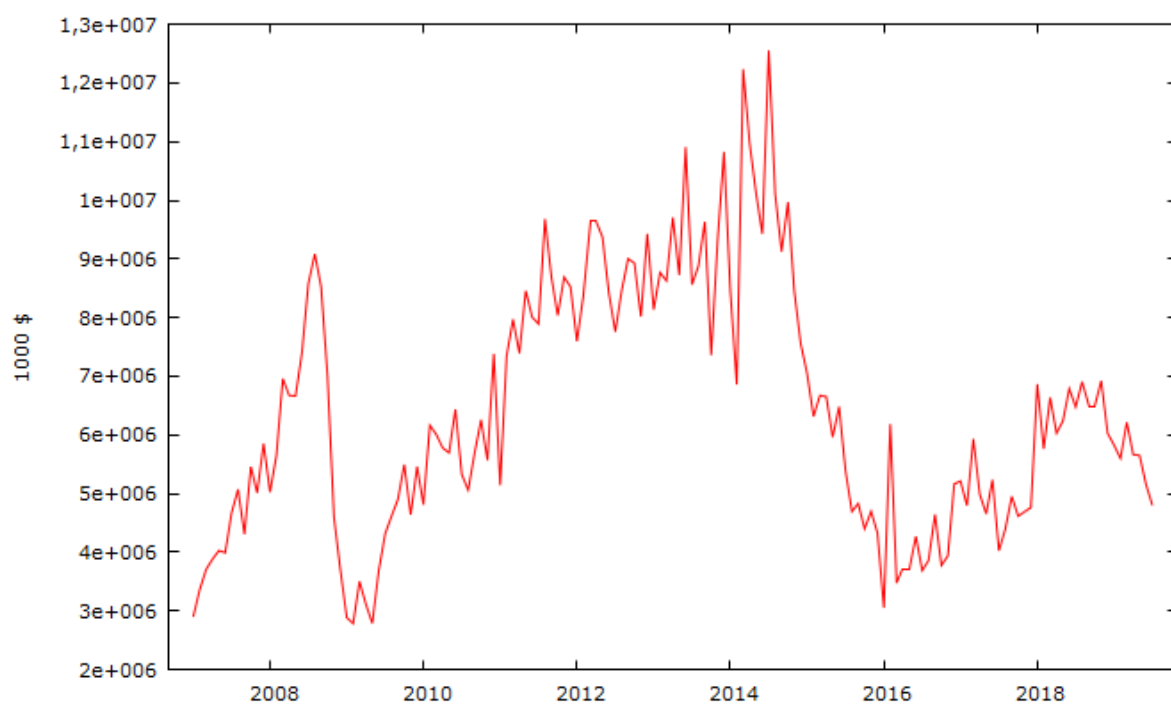


Рисунок 1.6 – Временной ряд PCRUD



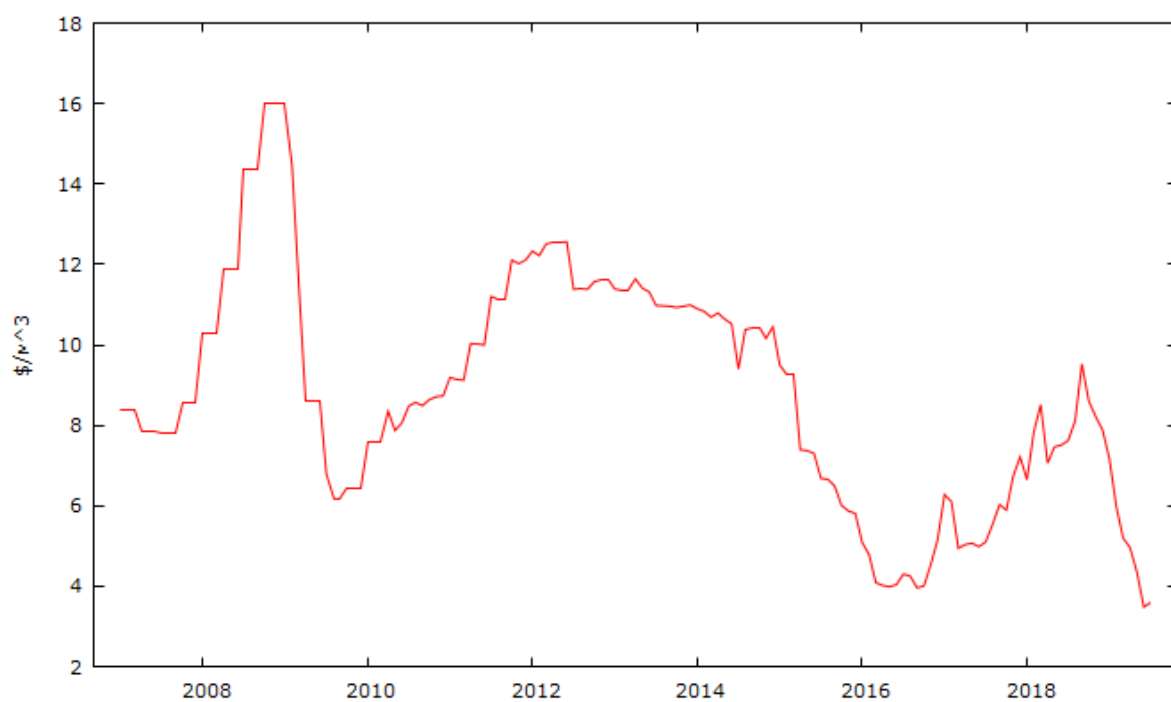


Рисунок 1.7 – Временной ряд PGAS

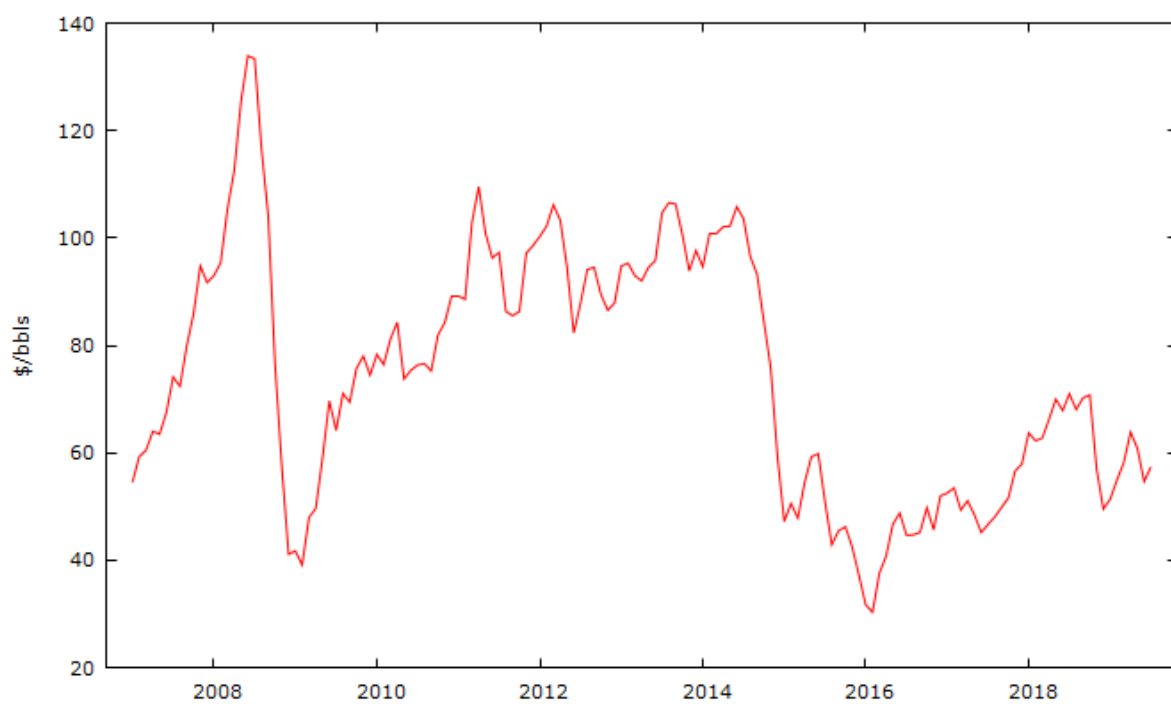


Рисунок 1.8 – Временной ряд POIL

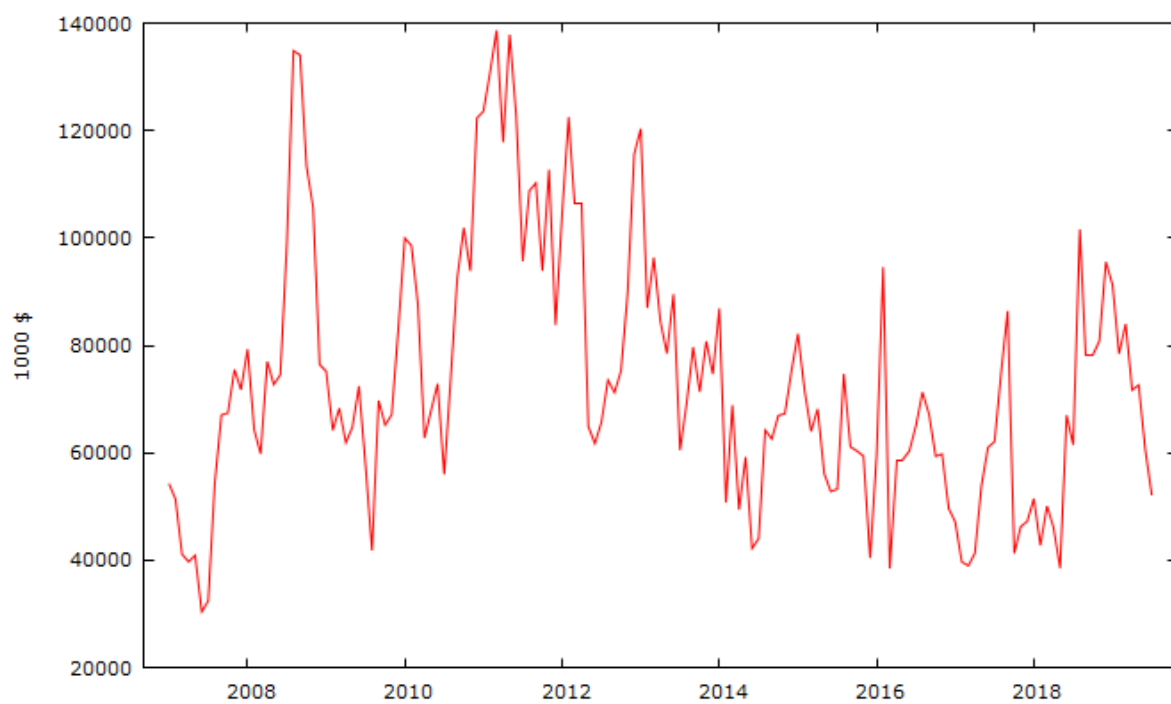


Рисунок 1.9 – Временной ряд EENER

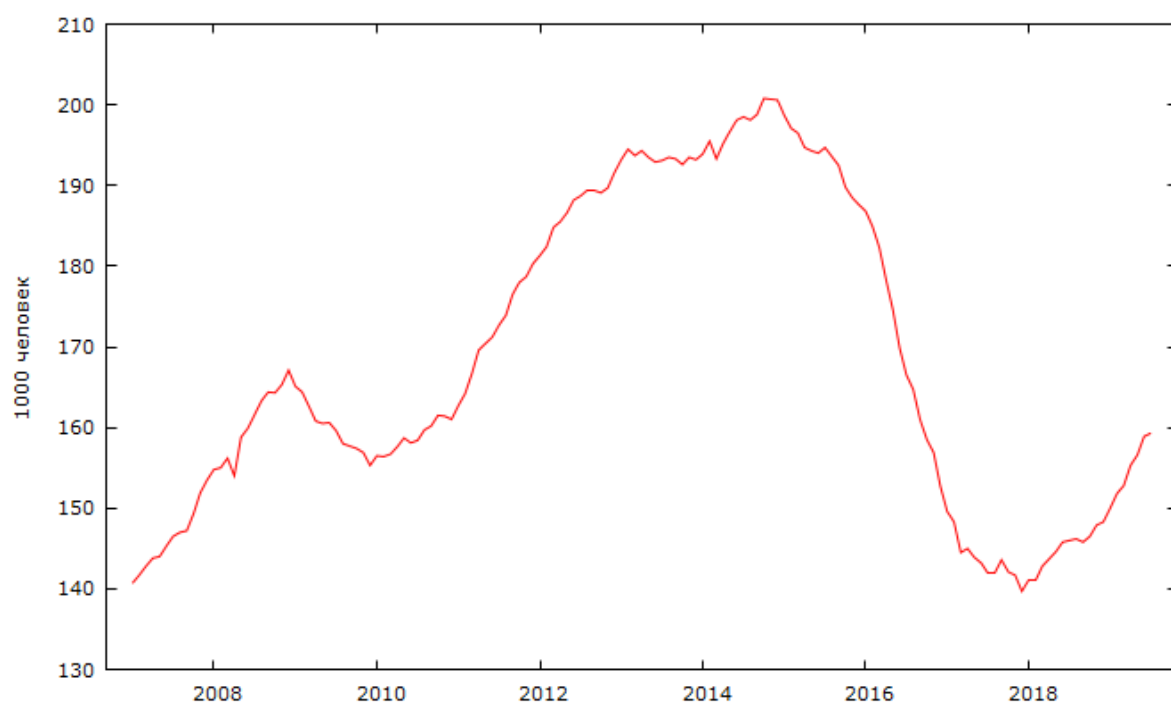


Рисунок 1.10 – Временной ряд EMP

### 1.13 Диаграммы рассеяния

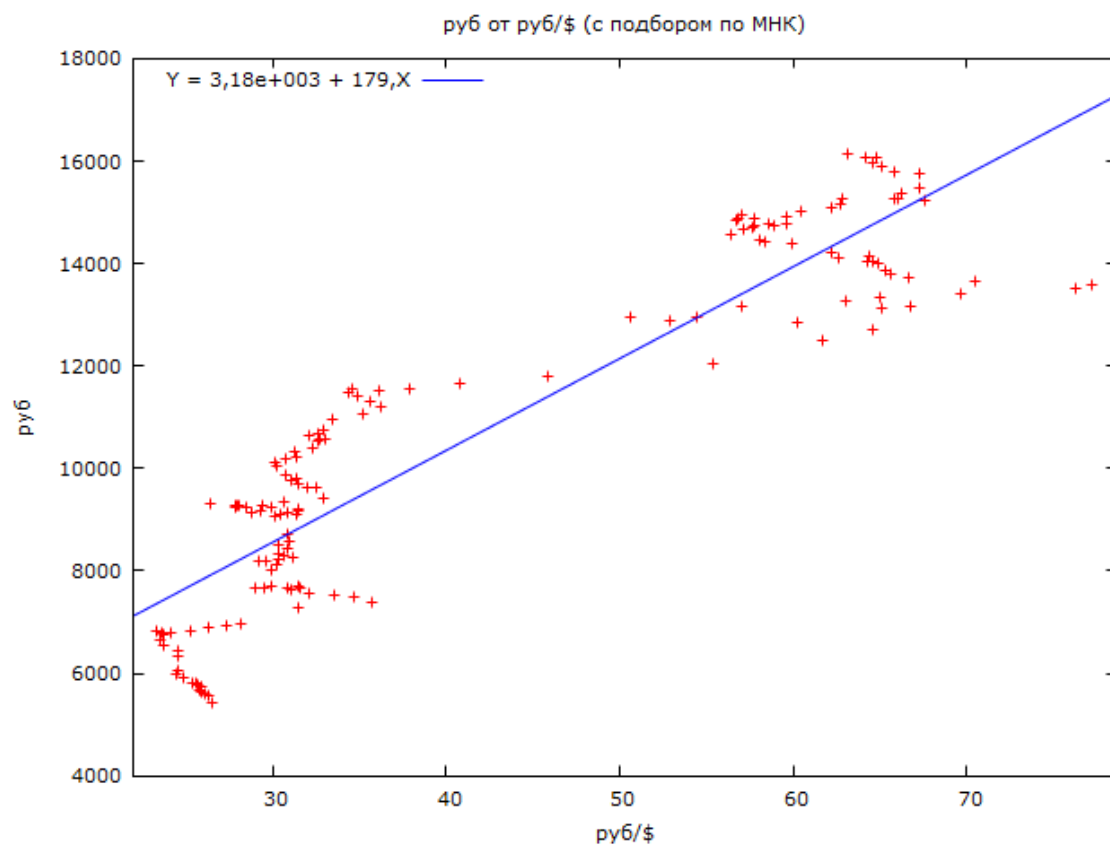


Рисунок 1.11 – Диаграмма рассеяния XXX и RU

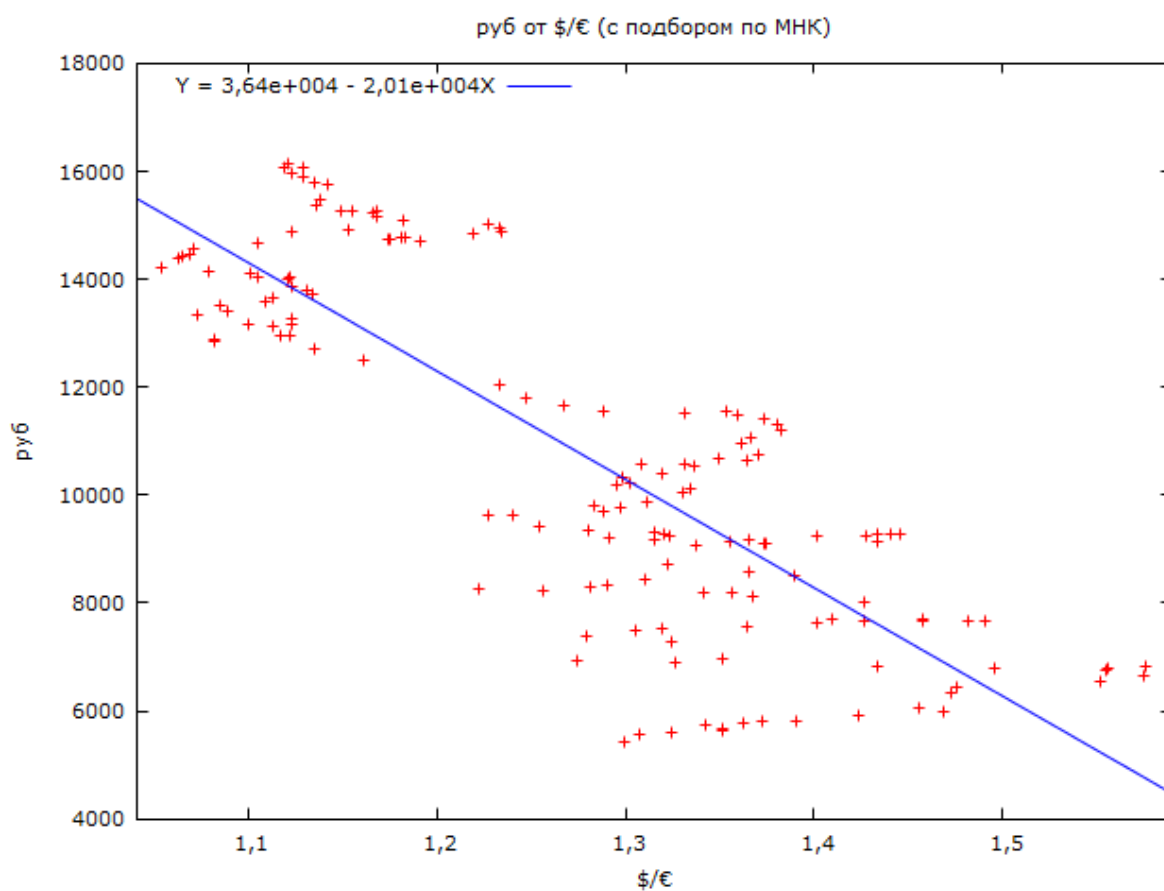


Рисунок 1.12 – Диаграмма рассеяния XXX и EUR

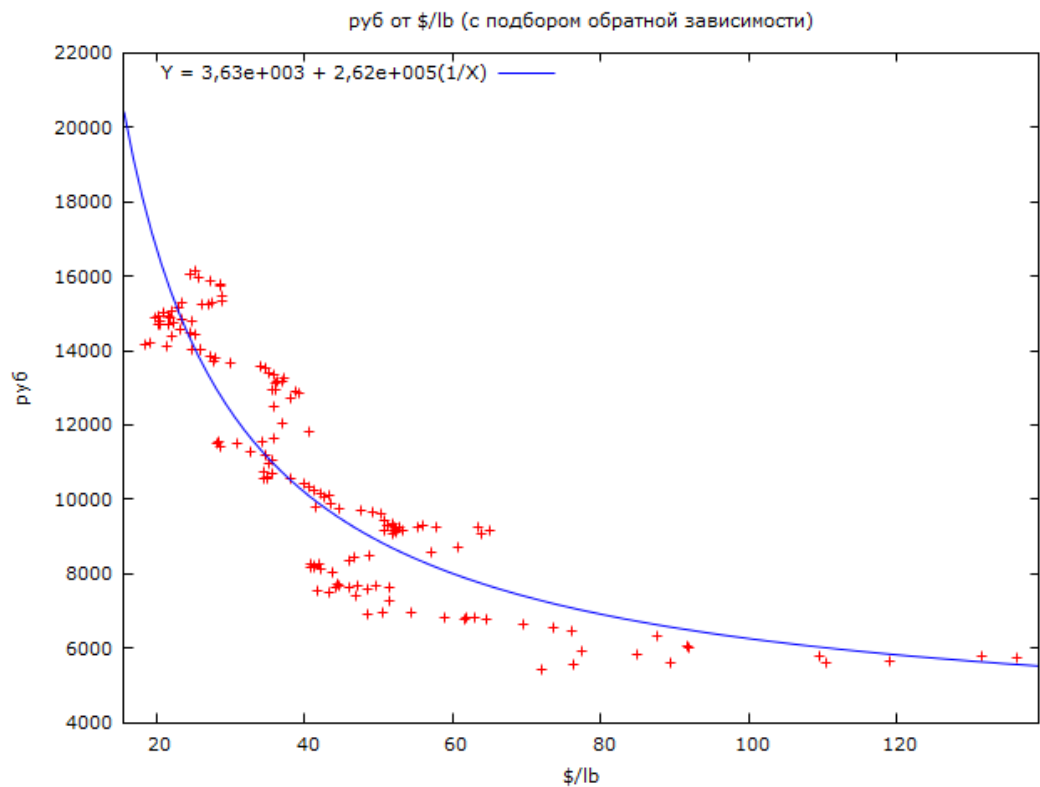


Рисунок 1.13 – Диаграмма рассеяния XXX и PURAN

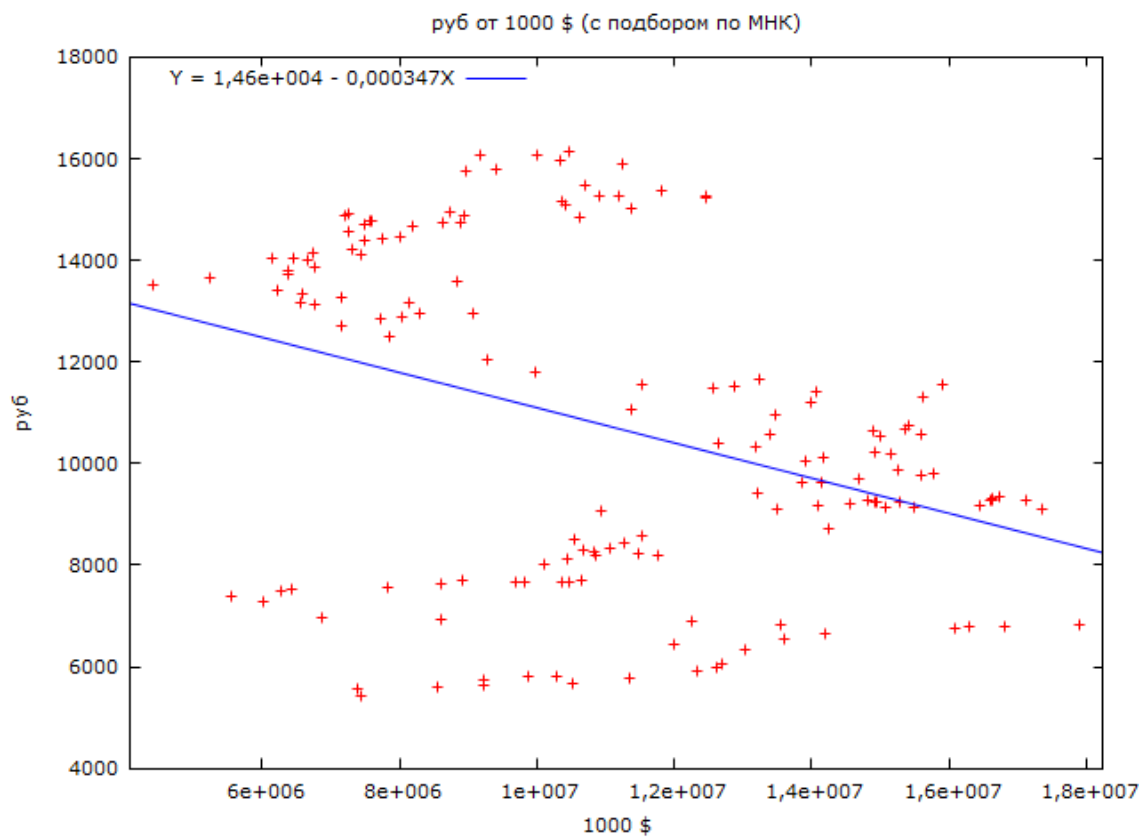


Рисунок 1.14 – Диаграмма рассеяния XXX и EXOIL

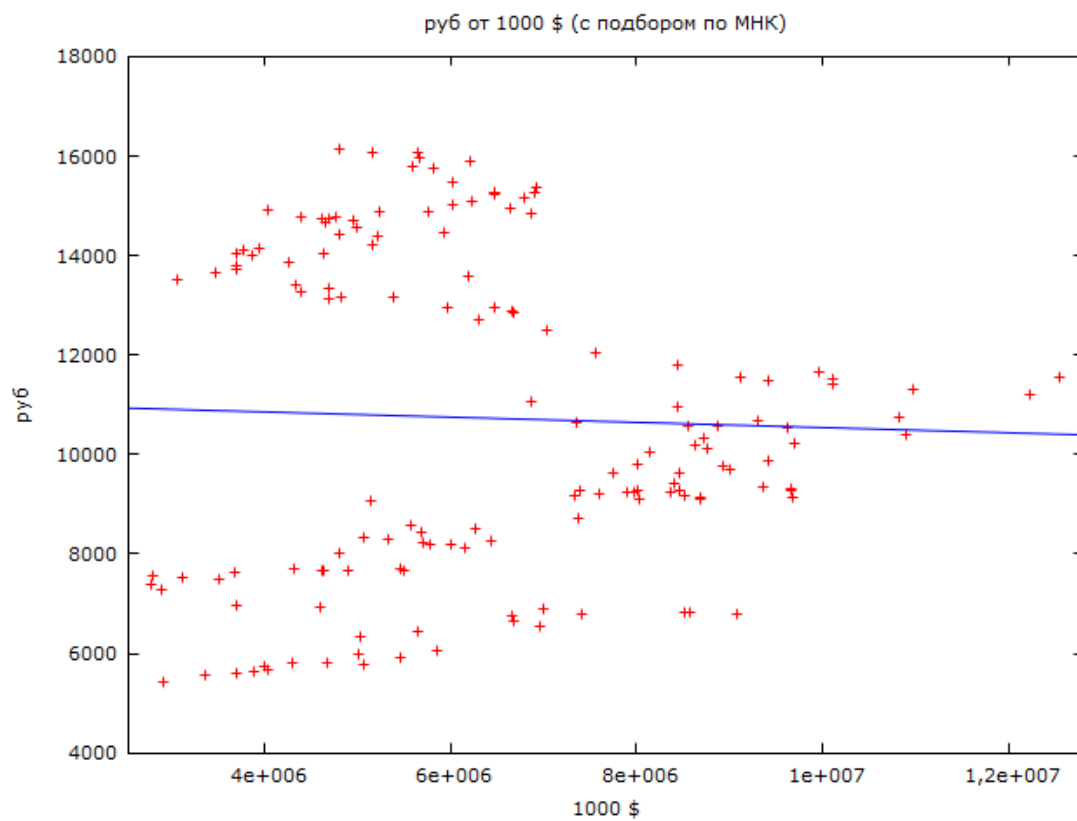


Рисунок 1.15 – Диаграмма рассеяния XXX и PCRUD

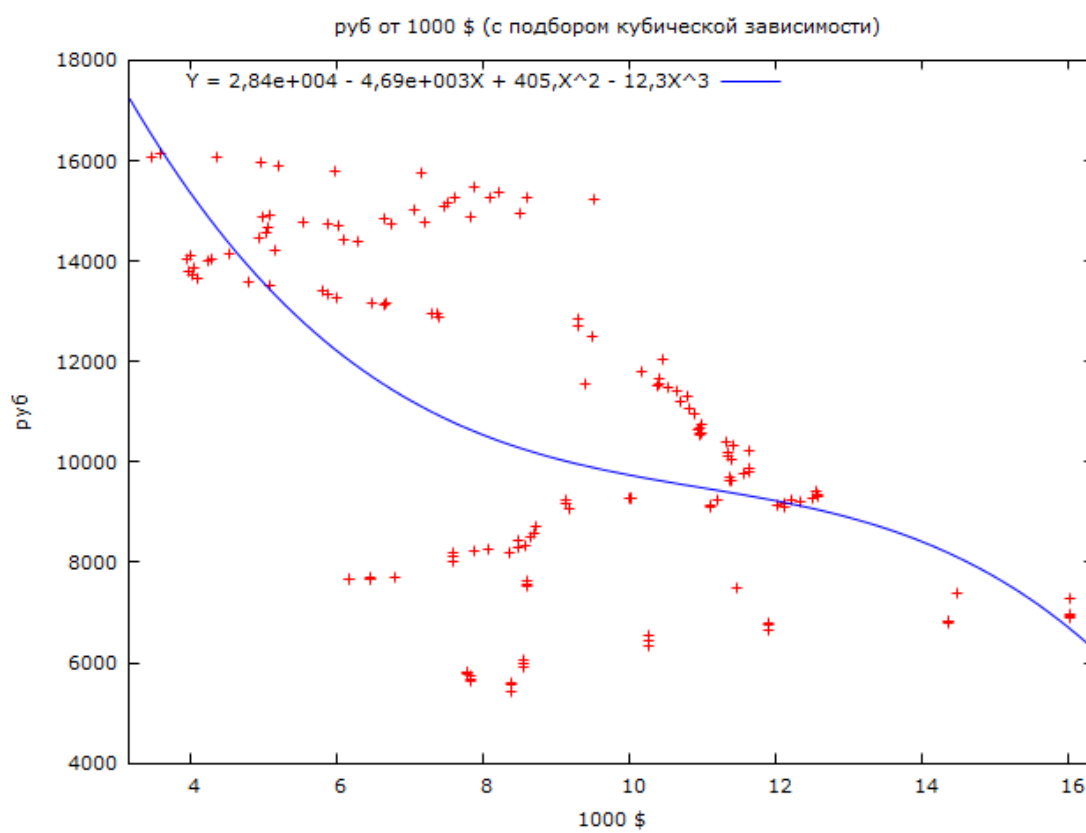


Рисунок 1.16 – Диаграмма рассеяния XXX и PGAS

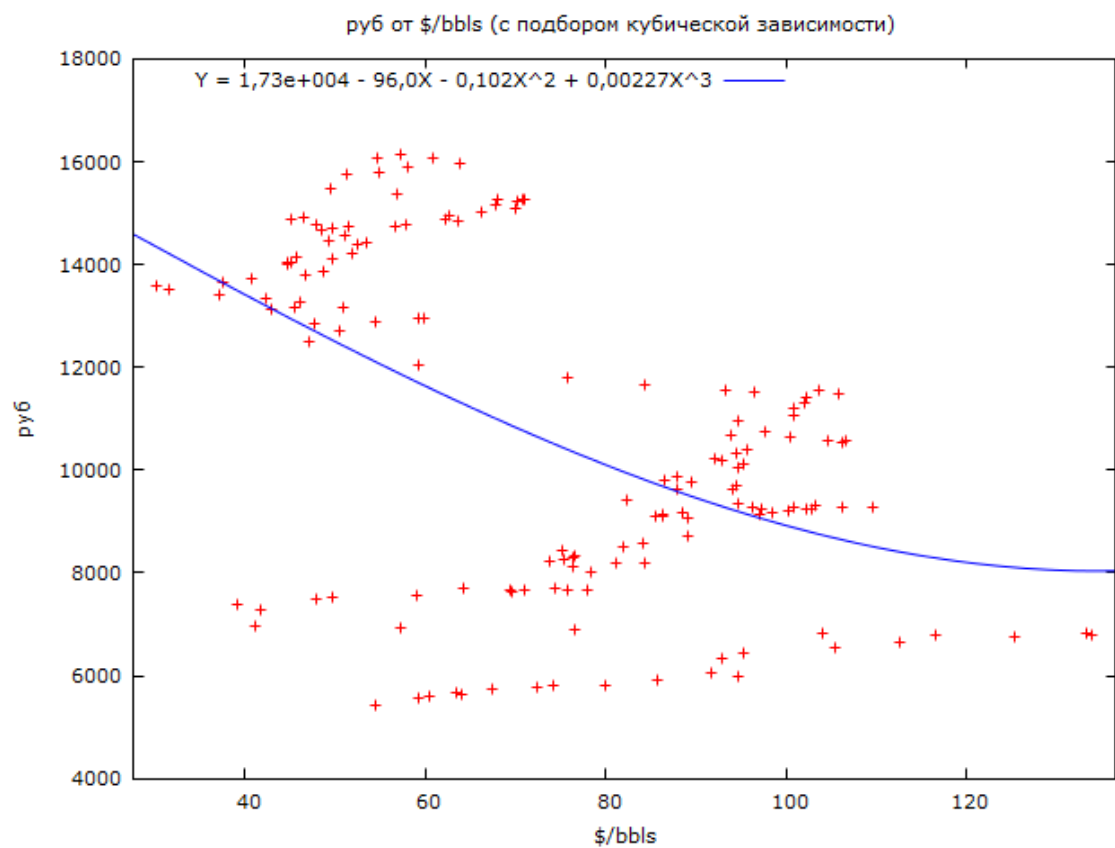


Рисунок 1.17 – Диаграмма рассеяния XXX и POIL

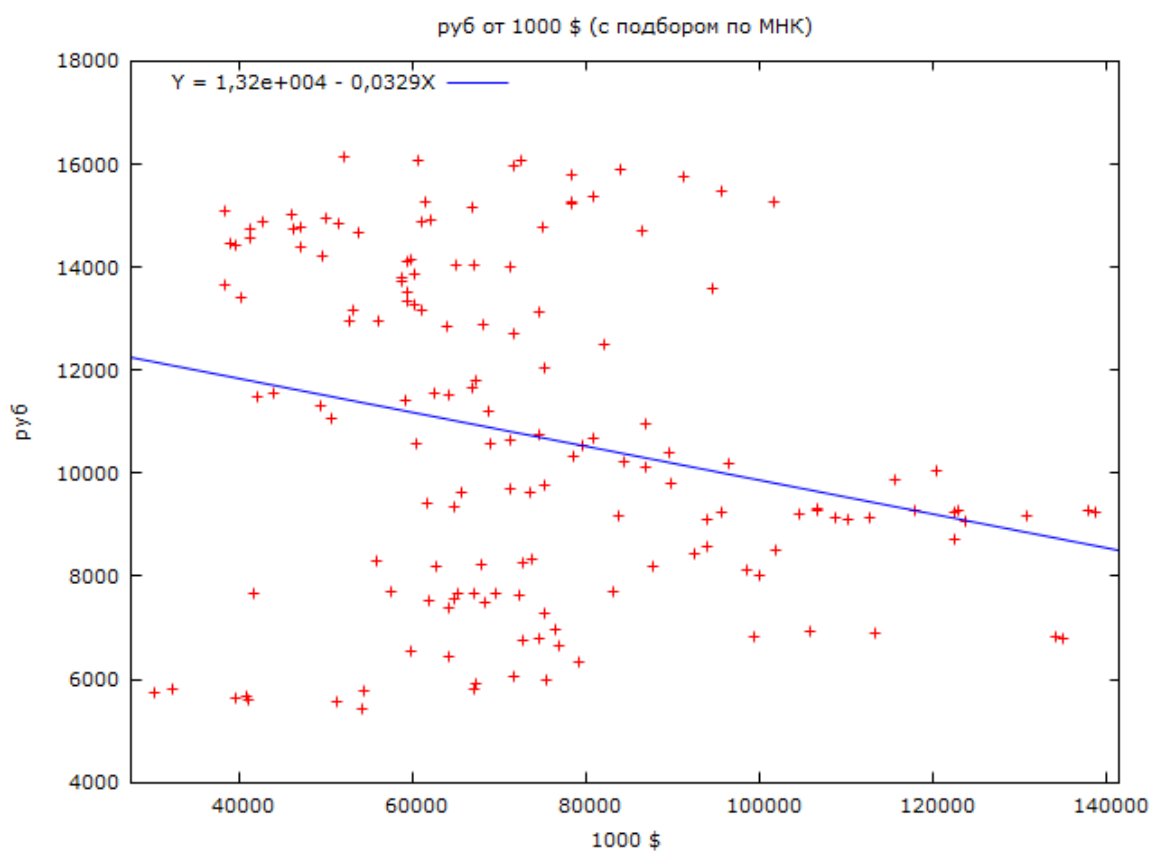


Рисунок 1.17 – Диаграмма рассеяния XXX и EENER

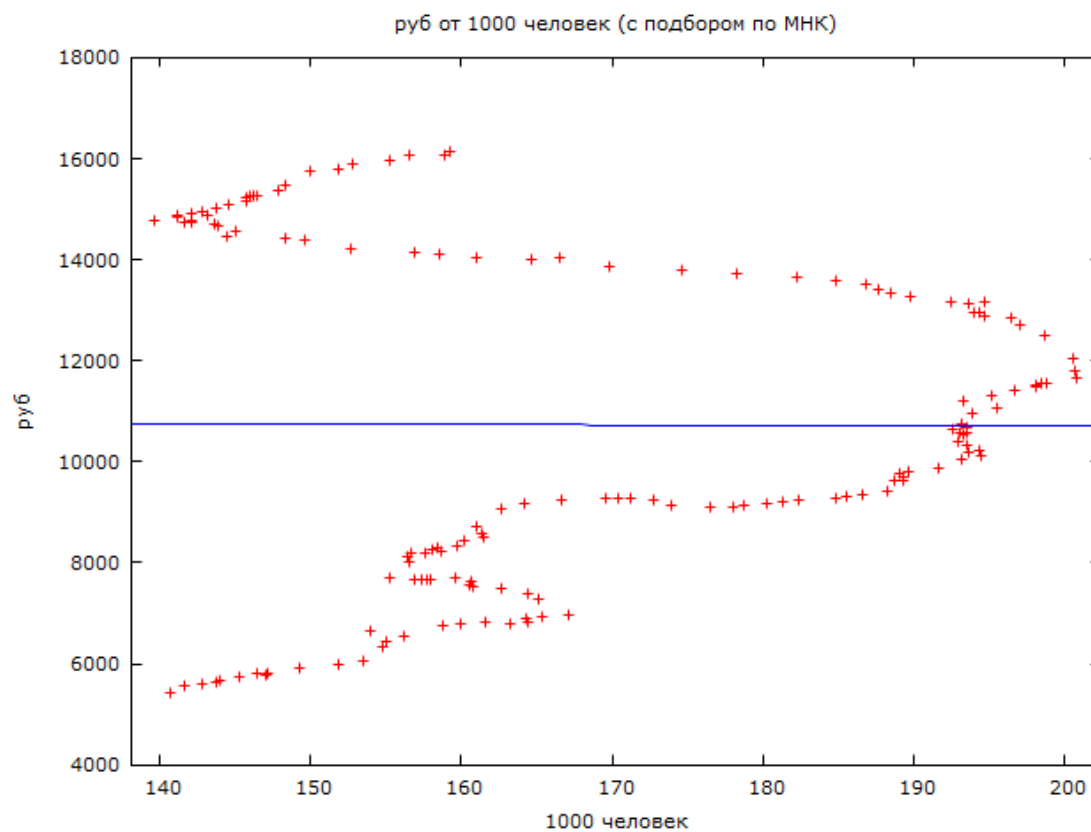


Рисунок 1.19 – Диаграмма рассеяния XXX и ЕМР

## 2. Построение модели и начало анализа модели

### 2.1 Выбор и построение модели множественной регрессии МНК

Модель 1: МНК, использованы наблюдения 2007:01-2019:07 (T = 151)

Зависимая переменная: XXX

	Коэффициент	Ст. ошибка	t-статистика	P-значение	
const	13508,3	1695,86	7,965	4,99e-013	***
RU	136,384	8,74494	15,60	1,70e-032	***
EUR	-5330,77	1037,92	-5,136	9,16e-07	***
PURAN	-36,9208	3,77113	-9,790	1,37e-017	***
EXOIL	8,07909e-05	5,28742e-05	1,528	0,1288	
PCRUD	0,000296033	6,42394e-05	4,608	9,00e-06	***
PGAS	-73,9112	30,3057	-2,439	0,0160	**
POIL	17,7512	8,06454	2,201	0,0294	**
EENER	-0,00403776	0,00274462	-1,471	0,1435	
EMP	-19,2015	3,83478	-5,007	1,62e-06	***
Среднее зав. перемен	10727,61	Ст. откл. зав. перемен	3196,568		
Сумма кв. остатков	59315493	Ст. ошибка модели	648,5964		
R-квадрат	0,961300	Испр. R-квадрат	0,958830		
F(9, 141)	389,1587	P-значение (F)	6,68e-95		
Лог. правдоподобие	-1186,783	Крит. Акаике	2393,566		
Крит. Шварца	2423,739	Крит. Хеннана-Куинна	2405,823		
Параметр rho	0,677412	Стат. Дарбина-Вотсона	0,636291		

Исключая константу, наибольшее p-значение получено для переменной 9 (EENER)

Тест Рамсея (RESET) (только кубы) -

Нулевая гипотеза: спецификация адекватна

Тестовая статистика:  $F(1, 140) = 0,338925$

p-значение =  $P(F(1, 140) > 0,338925) = 0,561387$

Рисунок 2.1 – Первоначальная модель МНК

### 2.2 Проверка значимости

#### 2.2.1 Тест Фишера

Нулевая гипотеза – модель в целом не значима

Таблица 2.1 – тест Фишера

t-стат	389,1587
p-знач	$6,68 \cdot 10^{-95}$
$t_{кр} 1\%$	2,5356
решение	Значима на 1%-ом уровне значимости



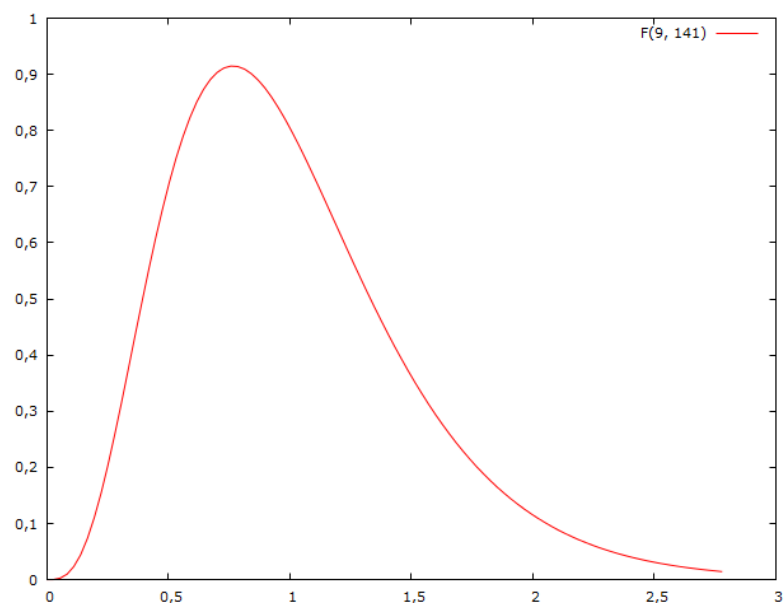


Рисунок 2.2 – распределение вероятности тестовой статистики в случае, когда модель незначима (9,141)

Модель значима на 1%-ом уровне значимости, нулевая гипотеза отвергается

### 2.2.2 Тест Стьюдента

Нулевая гипотеза – параметр незначим.

$t_{кр} 10\% = 1,65573$ ,  $t_{кр} 5\% = 1,97693$ ,  $t_{кр} 1\% = 2,61115$

Таблица 2.2 – проверка значимости коэффициентов

Регрессор	t-стат	p-знач	$t_{кр}$	решение
RU	15,60	$1,70 \cdot 10^{-32}$	$t_{кр} 1\% = 2,61115$	Значим на 1%
EUR	-5,136	$9,16 \cdot 10^{-7}$	$t_{кр} 1\% = 2,61115$	Значим на 1%
PURAN	-9,790	$1,37 \cdot 10^{-17}$	$t_{кр} 1\% = 2,61115$	Значим на 1%
EXOIL	1,528	0,128	$t_{кр} 10\% = 1,65573$	Не значим
PCRUD	4,608	$9,00 \cdot 10^{-6}$	$t_{кр} 1\% = 2,61115$	Значим на 1%
PGAS	-2,439	0,0160	$t_{кр} 5\% = 1,97693$	Значим на 5%
POIL	2,201	0,0294	$t_{кр} 5\% = 1,97693$	Значим на 5%
EENER	-1,471	0,1435	$t_{кр} 10\% = 1,65573$	Не значим
EMP	-5,007	$1,62 \cdot 10^{-6}$	$t_{кр} 1\% = 2,61115$	Значим на 1%

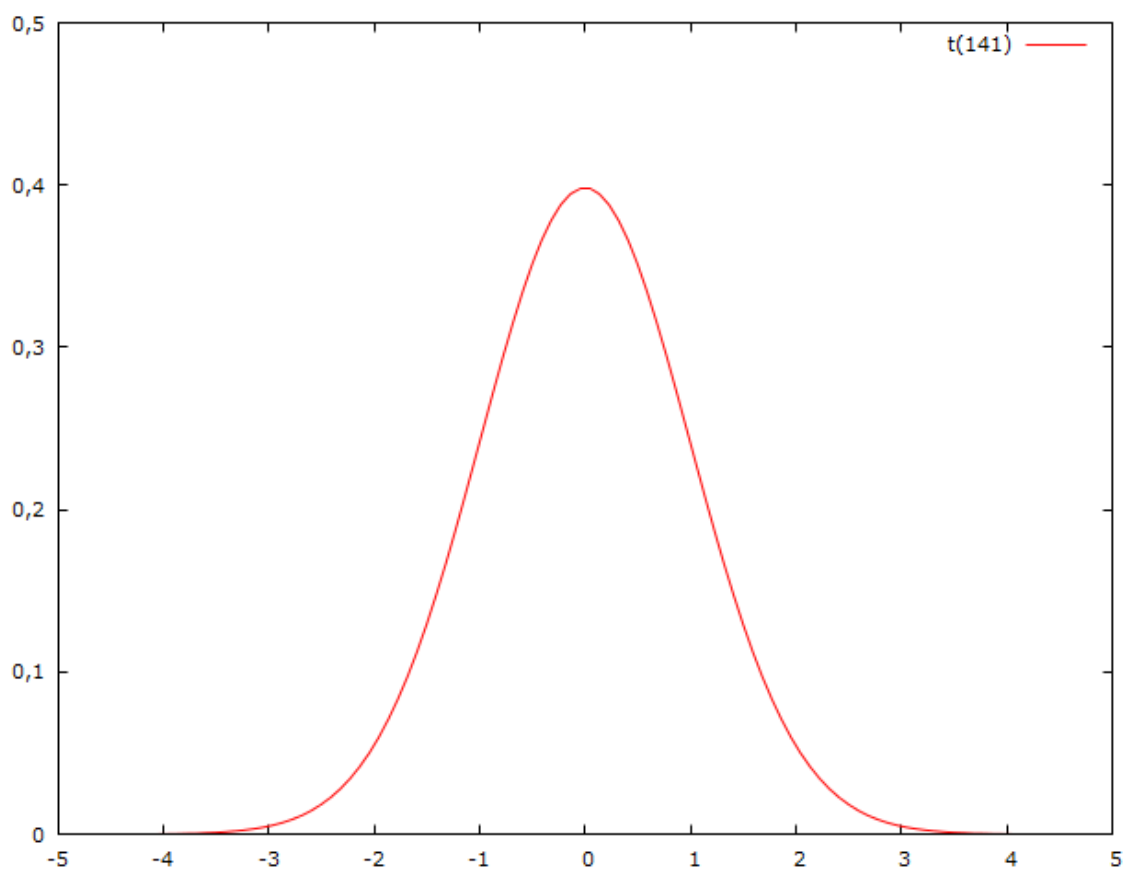


Рисунок 2.3 – распределение вероятности тестовой статистики в случае, когда коэффициент незначим (141 степень свободы)

RU, EUR, PURAN, PCRUD, EMP значимы 1-ом уровне значимости.

PGAS, POIL значимы на 5%-ом уровне значимости.

EXOIL и EENER не значимы.

## 2.3 RESET-тест

Вспомогательная регрессия для теста Рамсея

МНК, использованы наблюдения 2007:01-2019:07 (T = 151)

Зависимая переменная: XXX

	Коэффициент	Ст. ошибка	t-статистика	P-значение	
const	12914,3	1982,60	6,514	1,22e-09	***
RU	117,932	32,8858	3,586	0,0005	***
EUR	-4920,56	1256,52	-3,916	0,0001	***
PURAN	-35,4977	4,50150	-7,886	8,02e-013	***
EXOIL	6,90591e-05	5,67005e-05	1,218	0,2253	
PCRUD	0,000267464	8,09588e-05	3,304	0,0012	***
PGAS	-73,7640	30,3781	-2,428	0,0164	**
POIL	16,4709	8,37731	1,966	0,0513	*
EENER	-0,00332016	0,00301459	-1,101	0,2726	
EMP	-15,0185	8,14876	-1,843	0,0674	*
yhat^3	2,79396e-010	4,79919e-010	0,5822	0,5614	

Тестовая статистика: F = 0,338925,

p-значение = P(F(1,140) > 0,338925) = 0,561

Рисунок 2.5а – тест Рамсея (только кубы)

Модель 1: МНК, использованы наблюдения 2007:01-2019:07 (T = 151)

Зависимая переменная: XXX

	Коэффициент	Ст. ошибка	t-статистика	P-значение	
const	13508,3	1695,86	7,965	4,99e-013	***
RU	136,384	8,74494	15,60	1,70e-032	***
EUR	-5330,77	1037,92	-5,136	9,16e-07	***
PURAN	-36,9208	3,77113	-9,790	1,37e-017	***
EXOIL	8,07909e-05	5,28742e-05	1,528	0,1288	
PCRUD	0,000296033	6,42394e-05	4,608	9,00e-06	***
PGAS	-73,9112	30,3057	-2,439	0,0160	**
POIL	17,7512	8,06454	2,201	0,0294	**
EENER	-0,00403776	0,00274462	-1,471	0,1435	
EMP	-19,2015	3,83478	-5,007	1,62e-06	***
Среднее зав. перемен	10727,61	Ст. откл. зав. перемен	3196,568		
Сумма кв. остатков	59315493	Ст. ошибка модели	648,5964		
R-квадрат	0,961300	Испр. R-квадрат	0,958830		
F(9, 141)	389,1587	P-значение (F)	6,68e-95		
Лог. правдоподобие	-1186,783	Крит. Акаике	2393,566		
Крит. Шварца	2423,739	Крит. Хеннана-Куинна	2405,823		
Параметр rho	0,677412	Стат. Дарбина-Вотсона	0,636291		

Исключая константу, наибольшее p-значение получено для переменной 9 (EENER)

Тест Рамсея (RESET) (только кубы) -

Нулевая гипотеза: спецификация адекватна

Тестовая статистика: F(1, 140) = 0,338925

p-значение = P(F(1, 140) > 0,338925) = 0,561387

Рисунок 2.5б – модель МНК

Нулевая гипотеза – спецификация модели адекватна (только кубы).  $t_{кр}(10\%) = 2,74171$ .  $t\text{-стат} = 0,338925$ . Р-значение = 0,561. Значит нулевая гипотеза не отвергается, спецификация модели адекватна на 10%-ом уровне значимости.

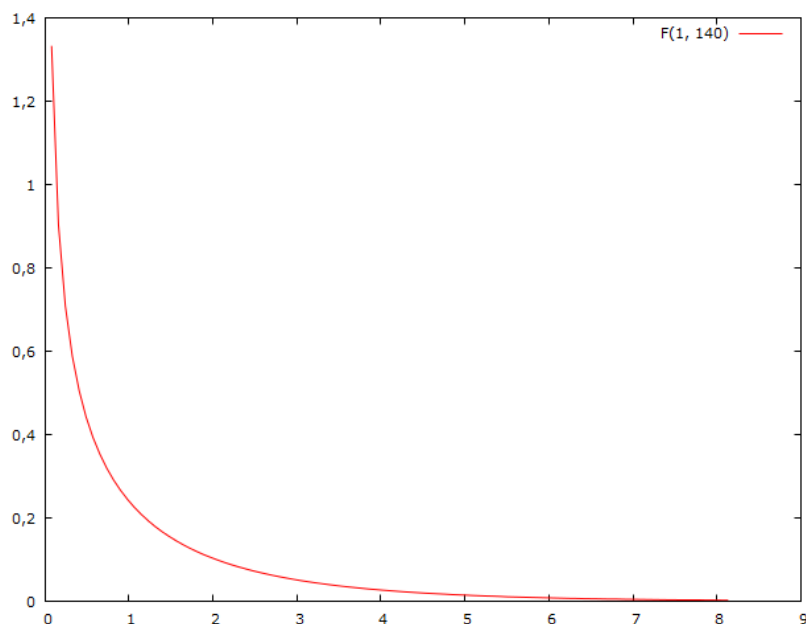


Рисунок 2.6 – распределение вероятности тестовой статистики в случае, когда спецификация модели адекватна

## **2.4 Анализ мультиколлинеарности параметров с помощью факторов инфляции дисперсии**

Строится новая модель, исключая исследуемый параметр XXX.

Метод инфляционных факторов  
Минимальное возможное значение = 1.0  
Значения > 10.0 могут указывать на наличие мультиколлинеарности

RU	7,235
EUR	6,551
PURAN	2,383
EXOIL	10,858
PCRUD	6,670
PGAS	2,705
POIL	12,192
EENER	1,543
EMP	1,970

$VIF(j) = 1/(1 - R(j)^2)$ , где  $R(j)$  – это коэффициент множественной корреляции между переменной  $j$  и другими независимыми переменными

Belsley-Kuh-Welsch collinearity diagnostics:

variance proportions

Рисунок 2.7 – метод факторов инфляции дисперсии

Фактор инфляции дисперсии для параметров EXOIL и POIL > 10.

Анализ главных компонент  
n = 151

Собственные значения для матрицы корреляций

Компонента	Собс. знач.	Доля	Интегральная
1	1,9174	0,9587	0,9587
2	0,0826	0,0413	1,0000

Собственные векторы (нагрузка на компоненты)

	PC1	PC2
EXOIL	0,707	-0,707
POIL	0,707	0,707

Рисунок 2.8 – анализ главных параметров

Строим новую модель, где регрессоры EXOIL и POIL заменены на собственные векторы PC1 и PC2.

Модель 3: МНК, использованы наблюдения 2007:01-2019:07 (T = 151)  
Зависимая переменная: XXX

	Коэффициент	Ст. ошибка	t-статистика	P-значение	
const	15720,0	1801,36	8,727	6,70e-015	***
RU	136,384	8,74494	15,60	1,70e-032	***
EUR	-5330,77	1037,92	-5,136	9,16e-07	***
PURAN	-36,9208	3,77113	-9,790	1,37e-017	***
PCRUD	0,000296033	6,42394e-05	4,608	9,00e-06	***
PGAS	-73,9112	30,3057	-2,439	0,0160	**
EENER	-0,00403776	0,00274462	-1,471	0,1435	
EMP	-19,2015	3,83478	-5,007	1,62e-06	***
PC1	476,354	111,015	4,291	3,29e-05	***
PC2	99,2638	228,739	0,4340	0,6650	
Среднее зав. перемен	10727,61	Ст. откл. зав. перемен	3196,568		
Сумма кв. остатков	59315493	Ст. ошибка модели	648,5964		
R-квадрат	0,961300	Испр. R-квадрат	0,958830		
F(9, 141)	389,1587	P-значение (F)	6,68e-95		
Лог. правдоподобие	-1186,783	Крит. Акаике	2393,566		
Крит. Шварца	2423,739	Крит. Хеннана-Куинна	2405,823		
Параметр rho	0,677412	Стат. Дарбина-Вотсона	0,636291		

Исключая константу, наибольшее p-значение получено для переменной 15 (PC2)

Рисунок 2.9 – модель МНК с собственными векторами PC1 и PC2 (EXOIL и POIL заменены)

Метод инфляционных факторов  
Минимальное возможное значение = 1.0  
Значения > 10.0 могут указывать на наличие мультиколлинеарности

RU	7,235
EUR	6,551
PURAN	2,383
PCRUD	6,670
PGAS	2,705
EENER	1,543
EMP	1,970
PC1	8,426
PC2	1,542

$VIF(j) = 1/(1 - R(j)^2)$ , где  $R(j)$  – это коэффициент множественной корреляции между переменной  $j$  и другими независимыми переменными

Belsley-Kuh-Welsch collinearity diagnostics:

variance proportions

Рисунок 2.10 – факторы инфляции дисперсии для новой модели

Факторы инфляции дисперсии для всех параметров меньше 10.



Тестирование модели 1:

Нулевая гипотеза: параметры регрессии нулевые

EENER, PC2

Тестовая статистика:  $F(2, 141) = 1,46848$ , P-значение 0,233776

Omitting variables improved 3 of 3 information criteria.

Модель 2: МНК, использованы наблюдения 2007:01-2019:07 (T = 151)

Зависимая переменная: XXX

	Коэффициент	Ст. ошибка	t-статистика	P-значение	
const	15426,8	1770,01	8,716	6,58e-015	***
RU	134,753	8,70052	15,49	2,19e-032	***
EUR	-5251,83	980,423	-5,357	3,31e-07	***
PURAN	-36,8008	3,70397	-9,935	5,18e-018	***
PCRUD	0,000298946	6,35607e-05	4,703	5,97e-06	***
PGAS	-87,9974	29,2644	-3,007	0,0031	***
EMP	-18,8247	3,78448	-4,974	1,85e-06	***
PC1	436,931	108,934	4,011	9,71e-05	***
Среднее зав. перемен	10727,61	Ст. откл. зав. перемен	3196,568		
Сумма кв. остатков	60551004	Ст. ошибка модели	650,7178		
R-квадрат	0,960494	Испр. R-квадрат	0,958560		
F(7, 143)	496,6731	P-значение (F)	5,74e-97		
Лог. правдоподобие	-1188,339	Крит. Акаике	2392,679		
Крит. Шварца	2416,817	Крит. Хеннана-Куинна	2402,485		
Параметр rho	0,655679	Стат. Дарбина-Вотсона	0,679877		

Рисунок 2.11в – тест на избыточные переменные

$H_0$  – параметры EENER и PC2 являются незначимыми.  $t_{кр}(10\%) = 2,3406$ . t-стат = 1,46848. P-значение = 0,233776. Значит нулевая гипотеза не отвергается, параметры EENER и PC2 являются незначимыми на 10%-ом уровне значимости. Исключаем EENER и PC2

F(2, 141)
Правосторонняя вероятность = 0,1
Дополняющая вероятность = 0,9
Критическое значение = 2,3406

Рисунок 2.12 – Расчет критического значения



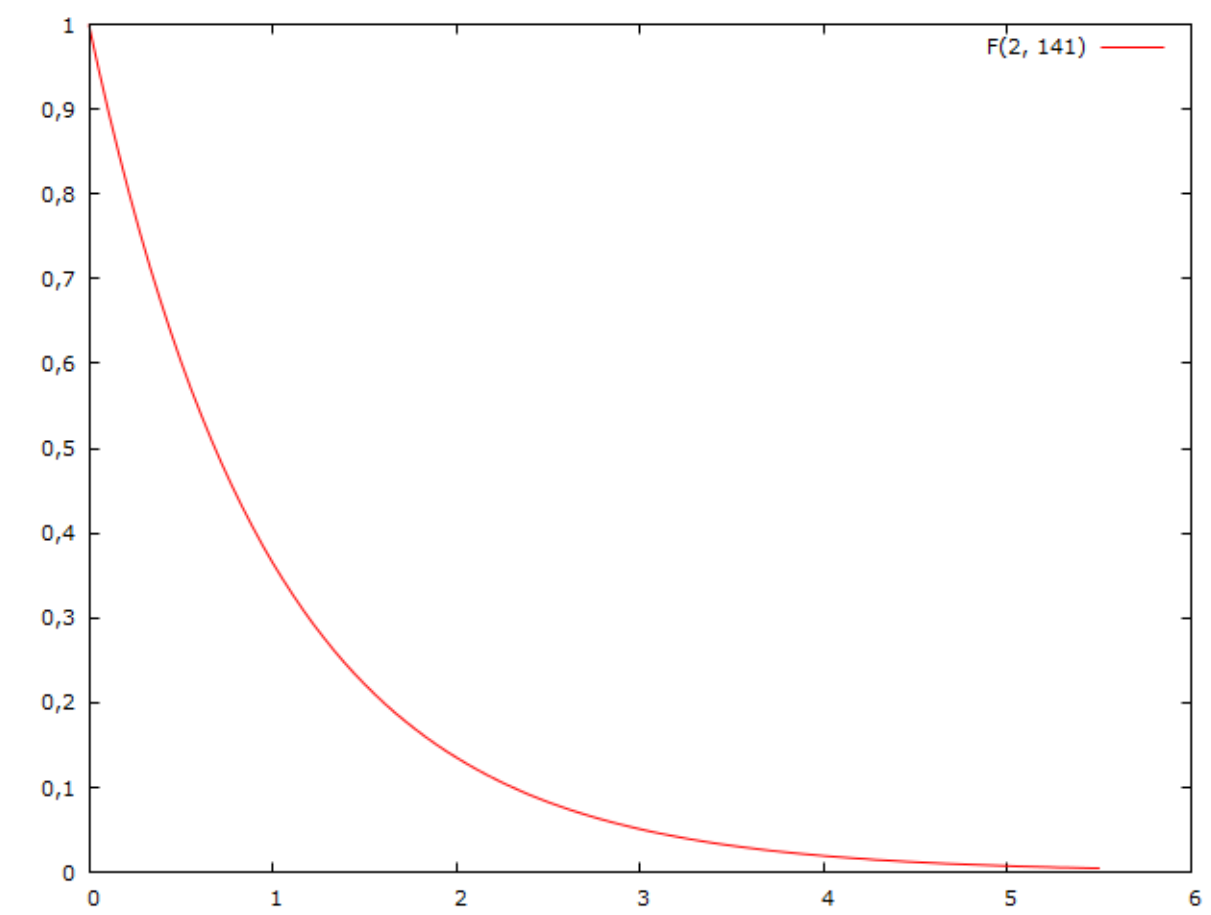


Рисунок 2.13 – Распределение F-статистики

Теперь необходимо провести RESET тест для «короткой модели»

Вспомогательная регрессия для теста Рамсея

МНК, использованы наблюдения 2007:01–2019:07 (T = 151)

Зависимая переменная: XXX

	Коэффициент	Ст. ошибка	t-статистика	P-значение	
const	14766,0	2164,77	6,821	2,40e-010	***
RU	118,877	31,0437	3,829	0,0002	***
EUR	-4891,49	1193,04	-4,100	6,92e-05	***
PURAN	-35,7606	4,19509	-8,524	2,05e-014	***
PCRUD	0,000273466	7,96648e-05	3,433	0,0008	***
PGAS	-86,1146	29,5500	-2,914	0,0041	***
EMP	-15,2749	7,66597	-1,993	0,0482	**
PC1	400,106	129,235	3,096	0,0024	***
yhat^3	2,39829e-010	4,50056e-010	0,5329	0,5949	

Тестовая статистика:  $F = 0,283969$ ,

p-значение =  $P(F(1,142) > 0,283969) = 0,595$

Рисунок 2.14 – тест Рамсея (только кубы)

Нулевая гипотеза – спецификация модели адекватна (только кубы).  $t_{кр}(10\%) = 2,74119$ .  $t\text{-стат} = 0,283969$ . Р-значение = 0,595. Значит нулевая гипотеза не отвергается, спецификация модели адекватна на 10%-ом уровне значимости.

## 2.5 Анализ структурного сдвига

Тест на отношение правдоподобия Квандта (Quandt) для структурных изменений в неизвестной точке, с 15-процентным цензурированием:

Максимум  $F(8, 135) = 42,9722$  достигается для наблюдения 2014:12

Asymptotic p-value =  $2,99309e-071$  for chi-square(8) = 343,777

Рисунок 2.15 – тест на отношения правдоподобия Квандта

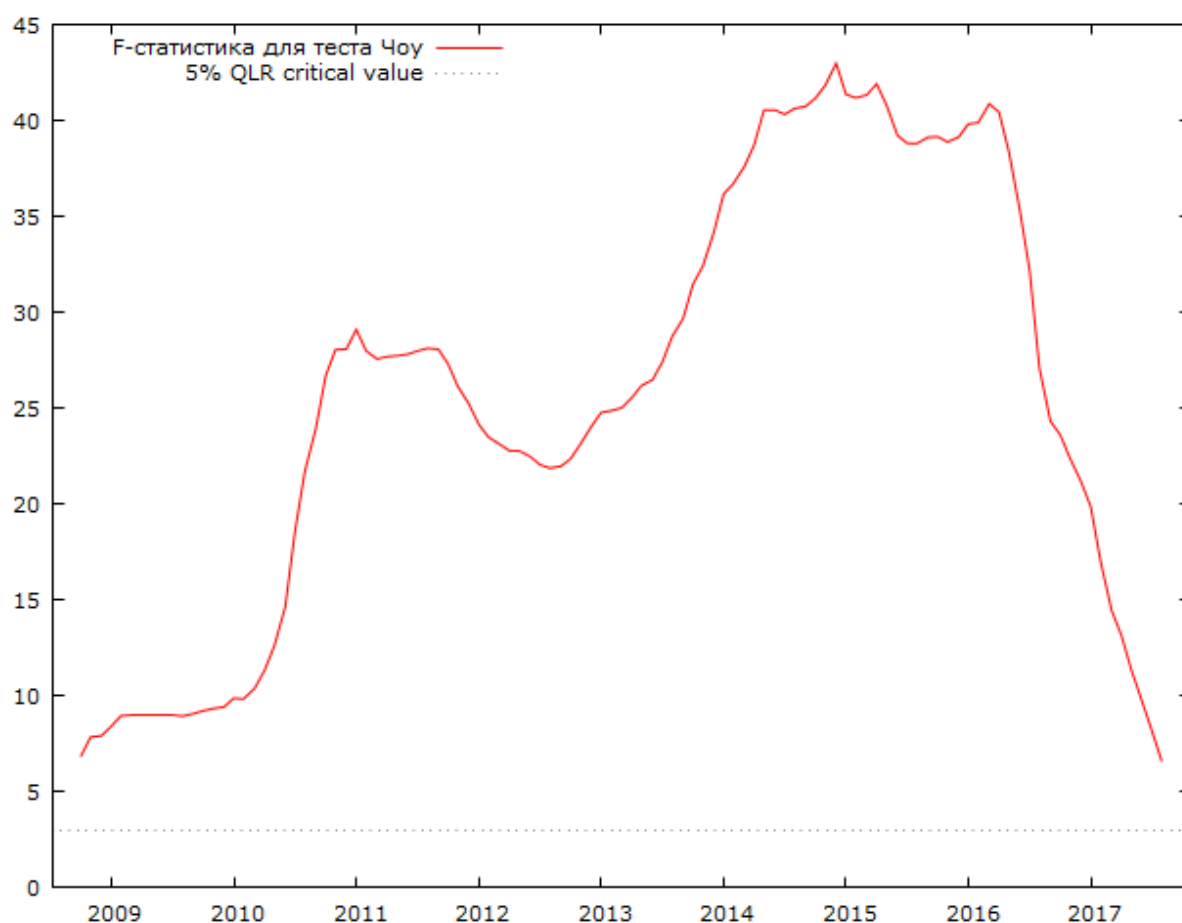


Рисунок 2.16 – F-статистика для теста Чоу

Максимум достигается для наблюдения 2014:12

Расширенная регрессия для теста Чоу  
МНК, использованы наблюдения 2007:01-2019:07 (T = 151)  
Зависимая переменная: XXX

	Коэффициент	Ст. ошибка	t-статистика	P-значение	
const	-1580,97	1505,58	-1,050	0,2956	
RU	117,412	22,8360	5,142	9,37e-07	***
EUR	-1016,64	663,599	-1,532	0,1279	
PURAN	-13,3461	2,60725	-5,119	1,04e-06	***
PCRUD	6,20750e-05	4,38871e-05	1,414	0,1595	
PGAS	-130,272	21,2381	-6,134	8,90e-09	***
EMP	55,1350	6,69354	8,237	1,35e-013	***
PC1	254,330	79,4309	3,202	0,0017	***
splitdum	20946,6	2402,07	8,720	9,01e-015	***
sd_RU	-80,9412	25,1410	-3,219	0,0016	***
sd_EUR	1814,46	1547,77	1,172	0,2431	
sd_PURAN	84,7859	24,6327	3,442	0,0008	***
sd_PCRUD	-3,95984e-05	0,000101824	-0,3889	0,6980	
sd_PGAS	-138,860	56,2220	-2,470	0,0148	**
sd_EMP	-102,470	9,64911	-10,62	1,59e-019	***
sd_PC1	467,942	164,059	2,852	0,0050	***
Среднее зав. перемен	10727,61	Ст. откл. зав. перемен	3196,568		
Сумма кв. остатков	17073457	Ст. ошибка модели	355,6263		
R-квадрат	0,988861	Испр. R-квадрат	0,987623		
F(15, 135)	798,9423	P-значение (F)	8,0e-124		
Лог. правдоподобие	-1092,759	Крит. Акаике	2217,519		
Крит. Шварца	2265,795	Крит. Хеннана-Куинна	2237,131		
Параметр rho	0,689471	Стат. Дарбина-Вотсона	0,623772		

Тест Чоу для структурных изменений в точке 2014:12  
F(8, 135) = 42,9722 p-значение 0,0000

Рисунок 2.17 –теста Чоу для структурных изменений в точке 2014:12

Нулевая гипотеза – структурного сдвига нет.  $t_{кр}(1\%) = 2,64564$ . t-стат = 42,9722. P - значение = 0. Значит нулевая гипотеза отвергается, структурный сдвиг есть на 1%-ом уровне значимости.

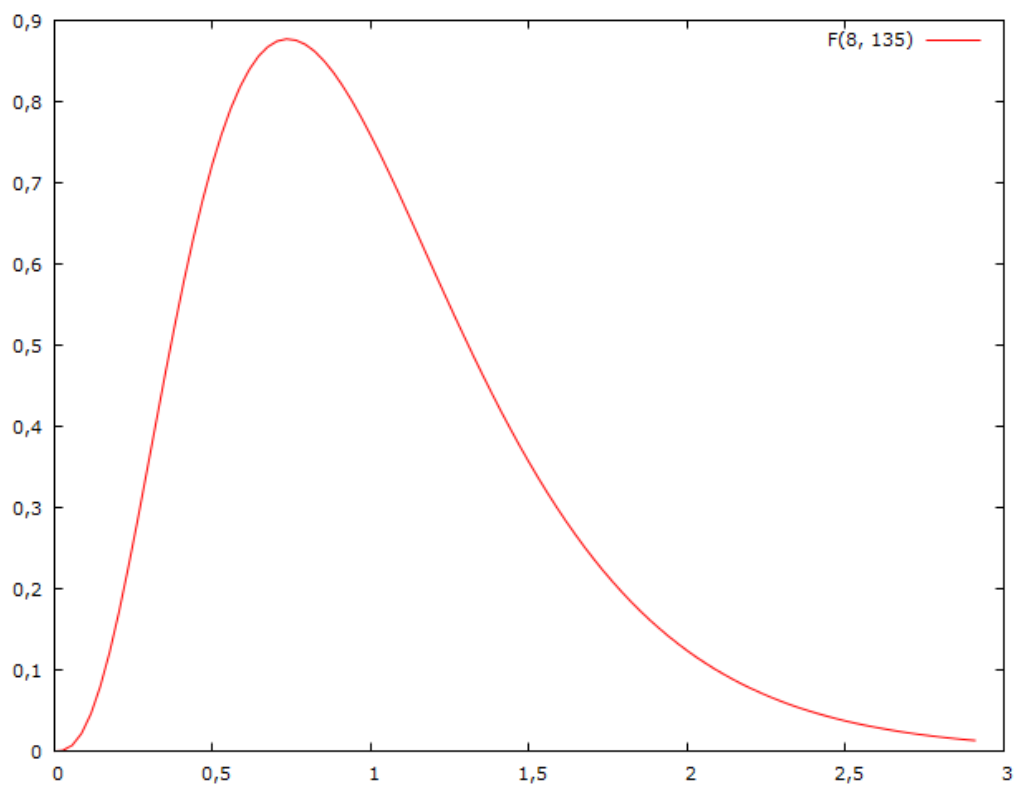


Рисунок 2.18 – распределение вероятности в случае отсутствия структурного сдвига

## 2.5 Построение и анализ модели после структурного сдвига

### 2.5.1 Выбор и построение модели множественной регрессии МНК

Модель 2: МНК, использованы наблюдения 2014:12-2019:07 (T = 56)  
Зависимая переменная: XXX

	Коэффициент	Ст. ошибка	t-статистика	P-значение	
const	16333,3	1816,05	8,994	1,06e-011	***
RU	31,1444	12,3630	2,519	0,0153	**
EUR	612,657	1358,34	0,4510	0,6541	
PURAN	70,4400	24,7226	2,849	0,0065	***
EXOIL	0,000135275	6,88526e-05	1,965	0,0555	*
PCRUD	-2,58548e-06	9,68836e-05	-0,02669	0,9788	
PGAS	-270,711	53,2875	-5,080	6,71e-06	***
POIL	26,3846	11,5867	2,277	0,0275	**
EENER	0,00501844	0,00386844	1,297	0,2010	
EMP	-47,2522	7,00216	-6,748	2,18e-08	***
Среднее зав. перемен	14365,57	Ст. откл. зав. перемен	1025,097		
Сумма кв. остатков	5422632	Ст. ошибка модели	343,3414		
R-квадрат	0,906175	Испр. R-квадрат	0,887818		
F(9, 46)	49,36391	P-значение (F)	1,15e-20		
Лог. правдоподобие	-400,9213	Крит. Акаике	821,8426		
Крит. Шварца	842,0961	Крит. Хеннана-Куинна	829,6948		
Параметр rho	0,472851	Стат. Дарбина-Вотсона	1,038005		

Исключая константу, наибольшее p-значение получено для переменной 6 (PCRUD)

Рисунок 2.19 – модель МНК после анализа структурного сдвига

## 2.5.2 RESET-тест

Вспомогательная регрессия для теста Рамсея

МНК, использованы наблюдения 2014:12-2019:07 (T = 56)

Зависимая переменная: XXX

	Коэффициент	Ст. ошибка	t-статистика	P-значение
const	150112	512728	0,2928	0,7711
RU	340,707	1361,02	0,2503	0,8035
EUR	6938,53	27165,5	0,2554	0,7996
PURAN	771,560	3074,10	0,2510	0,8030
EXOIL	0,00144774	0,00591203	0,2449	0,8077
PCRUD	-4,95554e-05	0,000126844	-0,3907	0,6979
PGAS	-2993,77	11839,1	-0,2529	0,8015
POIL	284,767	1150,36	0,2475	0,8056
EENER	0,0532417	0,219583	0,2425	0,8095
EMP	-525,162	2068,72	-0,2539	0,8008
yhat^2	-0,000941637	0,00314353	-0,2995	0,7659
yhat^3	2,76008e-08	7,50306e-08	0,3679	0,7147

Тестовая статистика: F = 3,279104,

p-значение = P(F(2,44) > 3,2791) = 0,047

Рисунок 2.20a – тест Рамсея (квадраты и кубы)

Модель 2: МНК, использованы наблюдения 2014:12-2019:07 (T = 56)

Зависимая переменная: XXX

	Коэффициент	Ст. ошибка	t-статистика	P-значение	
const	16333,3	1816,05	8,994	1,06e-011	***
RU	31,1444	12,3630	2,519	0,0153	**
EUR	612,657	1358,34	0,4510	0,6541	
PURAN	70,4400	24,7226	2,849	0,0065	***
EXOIL	0,000135275	6,88526e-05	1,965	0,0555	*
PCRUD	-2,58548e-06	9,68836e-05	-0,02669	0,9788	
PGAS	-270,711	53,2875	-5,080	6,71e-06	***
POIL	26,3846	11,5867	2,277	0,0275	**
EENER	0,00501844	0,00386844	1,297	0,2010	
EMP	-47,2522	7,00216	-6,748	2,18e-08	***

Среднее зав. перемен 14365,57 Ст. откл. зав. перемен 1025,097

Сумма кв. остатков 5422632 Ст. ошибка модели 343,3414

R-квадрат 0,906175 Испр. R-квадрат 0,887818

F(9, 46) 49,36391 P-значение (F) 1,15e-20

Лог. правдоподобие -400,9213 Крит. Акаике 821,8426

Крит. Шварца 842,0961 Крит. Хеннана-Куинна 829,6948

Параметр rho 0,472851 Стат. Дарбина-Вотсона 1,038005

Исключая константу, наибольшее p-значение получено для переменной 6 (PCRUD)

Тест Рамсея (RESET) -

Нулевая гипотеза: спецификация адекватна

Тестовая статистика: F(2, 44) = 3,2791

p-значение = P(F(2, 44) > 3,2791) = 0,0470481

Рисунок 2.20б – модель МНК

Нулевая гипотеза – спецификация модели адекватна (квадраты и кубы).  $t_{кр}(1\%) = 5,12263$ .  $t\text{-стат} = 3,2791$ . Значит нулевая гипотеза не отвергается, спецификация модели адекватна на 1%-ом уровне значимости.

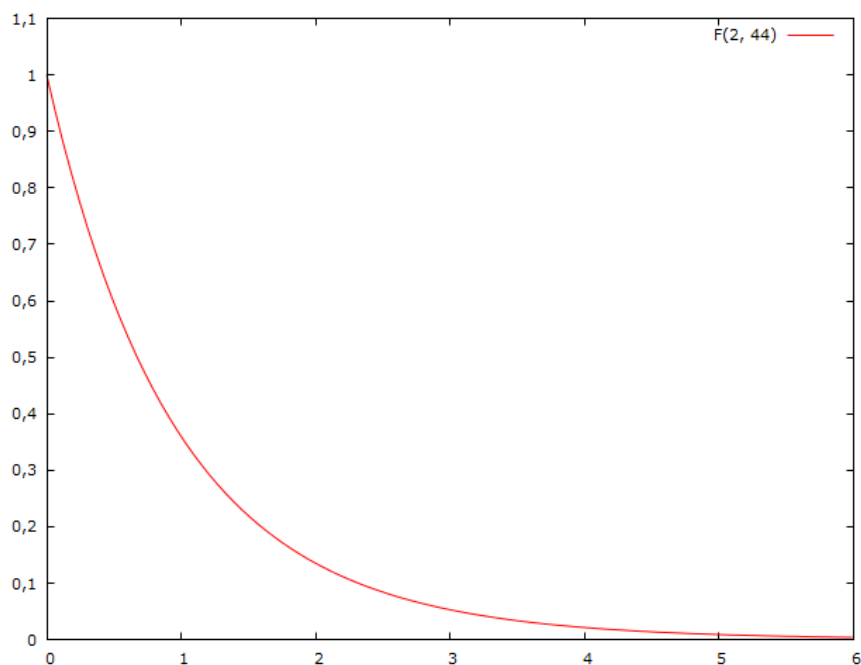


Рисунок 2.21 – распределение вероятности тестовой статистики в случае, когда спецификация модели адекватна

### 2.5.3 Тест Фишера

Нулевая гипотеза – модель в целом не значима

Таблица 2.2 – тест Фишера

t-стат	49,36391
p-знач	$1,15 \cdot 10^{-20}$
$t_{кр} 1\%$	2,82025
решение	Значима на 1%-ом уровне значимости

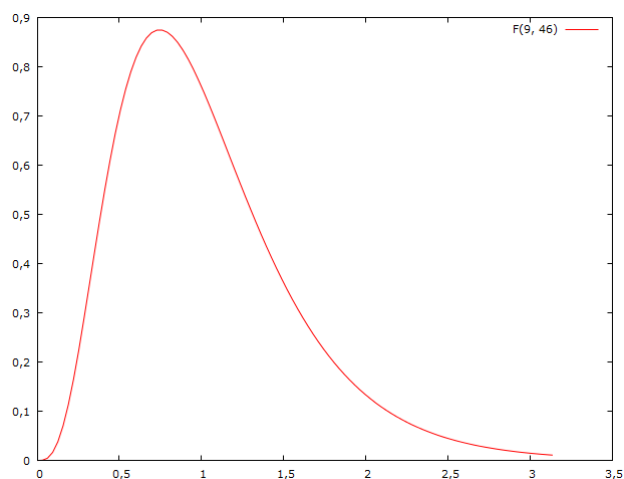


Рисунок 2.22 – распределение вероятности тестовой статистики в случае, когда модель незначима (9,46)

Модель значима на 1%-ом уровне значимости, нулевая гипотеза отвергается.

## 2.5.4 Тест Стьюдента

Нулевая гипотеза – параметр незначим.

$$t_{кр} 10\% = 1,67866, t_{кр} 5\% = 2,0129, t_{кр} 1\% = 2,68701$$

Таблица 2.2 – проверка значимости коэффициентов

Регрессор	t-стат	p-знач	$t_{кр}$	решение
RU	2,519	0,0153	$t_{кр} 5\% = 2,0129$	Значим на 5%
EUR	0,4510	0,6541	$t_{кр} 10\% = 1,67866$	Не значим
PURAN	2,849	0,0065	$t_{кр} 1\% = 2,68701$	Значим на 1%
EXOIL	1,965	0,00650	$t_{кр} 10\% = 1,67866$	Значим на 10%
PCRUD	-0,02669	0,9788	$t_{кр} 10\% = 1,67866$	Не значим
PGAS	-5,080	$6,71 \cdot 10^{-6}$	$t_{кр} 1\% = 2,68701$	Значим на 1%
POIL	2,277	0,0275	$t_{кр} 5\% = 2,0129$	Значим на 5%
EENER	1,297	0,2010	$t_{кр} 10\% = 1,67866$	Не значим
EMP	-6,748	$2,18 \cdot 10^{-8}$	$t_{кр} 1\% = 2,68701$	Значим на 1%

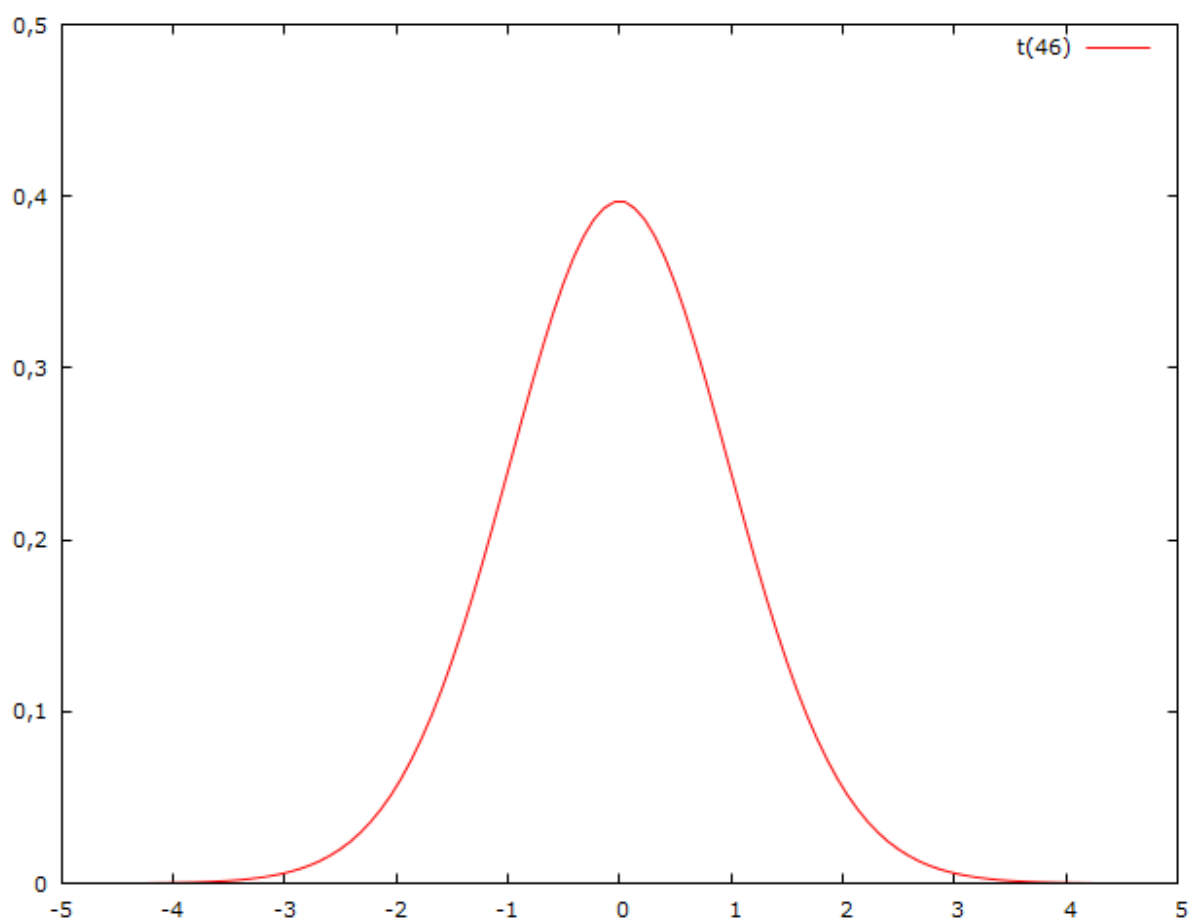


Рисунок 2.23 – распределение вероятности тестовой статистики в случае, когда коэффициент незначим (48 степеней свободы)

PURAN, EMP, PGAS значимы 1%-ом уровне значимости.

RU, POIL значимы на 5%-ом уровне значимости.

EXOIL значим на 1%-ом уровне значимости.

EUR, EENER и PCRUD не значимы.

### **2.5.5 Анализ мультиколлинеарности параметров с помощью факторов инфляции дисперсии**

Строится новая модель, исключая исследуемый параметр XXX.



---

Метод инфляционных факторов

Минимальное возможное значение = 1.0

Значения > 10.0 могут указывать на наличие мультиколлинеарности

RU	1,888
EUR	1,760
PURAN	10,730
EXOIL	7,518
PCRUD	5,294
PGAS	4,032
POIL	5,759
EENER	1,754
EMP	9,855

$VIF(j) = 1/(1 - R(j)^2)$ , где  $R(j)$  – это коэффициент множественной корреляции между переменной  $j$  и другими независимыми переменными

Belsley-Kuh-Welsch collinearity diagnostics:

Рисунок 2.24 – метод факторов инфляции дисперсии

Фактор инфляции дисперсии для PURAN больше 10. Наибольшее значение за исключением PURAN имеет EMP.

Анализ главных компонент

n = 56

Собственные значения для матрицы корреляций

Компонента	Собс. знач.	Доля	Интегральная
1	1,9010	0,9505	0,9505
2	0,0990	0,0495	1,0000

Собственные векторы (нагрузка на компоненты)

	PC1	PC2
PURAN	0,707	-0,707
EMP	0,707	0,707

Рисунок 2.25 – анализ главных параметров

Строим новую модель, где регрессоры PURAN и EMP заменены на собственные векторы PC1 и PC2.

Модель 2: МНК, использованы наблюдения 2014:12-2019:07 (T = 56)  
Зависимая переменная: XXX

	Коэффициент	Ст. ошибка	t-статистика	P-значение	
const	10584,4	1653,59	6,401	7,24e-08	***
RU	31,1444	12,3630	2,519	0,0153	**
EUR	612,657	1358,34	0,4510	0,6541	
EXOIL	0,000135275	6,88526e-05	1,965	0,0555	*
PCRU	-2,58548e-06	9,68836e-05	-0,02669	0,9788	
PGAS	-270,711	53,2875	-5,080	6,71e-06	***
POIL	26,3846	11,5867	2,277	0,0275	**
EENER	0,00501844	0,00386844	1,297	0,2010	
PC1	-387,976	48,4042	-8,015	2,81e-010	***
PC2	-999,038	204,396	-4,888	1,28e-05	***

Среднее зав. перемен	14365,57	Ст. откл. зав. перемен	1025,097
Сумма кв. остатков	5422632	Ст. ошибка модели	343,3414
R-квадрат	0,906175	Испр. R-квадрат	0,887818
F(9, 46)	49,36391	P-значение (F)	1,15e-20
Лог. правдоподобие	-400,9213	Крит. Акаике	821,8426
Крит. Шварца	842,0961	Крит. Хеннана-Куинна	829,6948
Параметр rho	0,472851	Стат. Дарбина-Вотсона	1,038005

Исключая константу, наибольшее p-значение получено для переменной 6 (PCRU)

Тест Рамсея (RESET) -

Нулевая гипотеза: спецификация адекватна

Тестовая статистика:  $F(2, 44) = 3,2791$

p-значение =  $P(F(2, 44) > 3,2791) = 0,0470481$

Рисунок 2.26 – модель МНК с собственными векторами PC1 и PC2  
(PURAN и EMP заменены)

Метод инфляционных факторов

Минимальное возможное значение = 1.0

Значения > 10.0 могут указывать на наличие мультиколлинеарности

RU	1,888
EUR	1,760
EXOIL	7,518
PCRU	5,294
PGAS	4,032
POIL	5,759
EENER	1,754
PC1	2,078
PC2	1,929

$VIF(j) = 1/(1 - R(j)^2)$ , где  $R(j)$  - это коэффициент множественной корреляции между переменной j и другими независимыми переменными

Belsley-Kuh-Welsch collinearity diagnostics:

variance proportions

Рисунок 2.27 –факторы инфляции дисперсии для новой модели

## 2.5.6 Проверка на избыточные переменные

Модель 2: МНК, использованы наблюдения 2014:12-2019:07 (T = 56)  
Зависимая переменная: XXX

	Коэффициент	Ст. ошибка	t-статистика	P-значение	
const	10584,4	1653,59	6,401	7,24e-08	***
RU	31,1444	12,3630	2,519	0,0153	**
EUR	612,657	1358,34	0,4510	0,6541	
EXOIL	0,000135275	6,88526e-05	1,965	0,0555	*
PCRUD	-2,58548e-06	9,68836e-05	-0,02669	0,9788	
PGAS	-270,711	53,2875	-5,080	6,71e-06	***
POIL	26,3846	11,5867	2,277	0,0275	**
EENER	0,00501844	0,00386844	1,297	0,2010	
PC1	-387,976	48,4042	-8,015	2,81e-010	***
PC2	-999,038	204,396	-4,888	1,28e-05	***
Среднее зав. перемен	14365,57	Ст. откл. зав. перемен	1025,097		
Сумма кв. остатков	5422632	Ст. ошибка модели	343,3414		
R-квадрат	0,906175	Испр. R-квадрат	0,887818		
F(9, 46)	49,36391	P-значение (F)	1,15e-20		
Лог. правдоподобие	-400,9213	Крит. Акаике	821,8426		
Крит. Шварца	842,0961	Крит. Хеннана-Куинна	829,6948		
Параметр rho	0,472851	Стат. Дарбина-Вотсона	1,038005		

Исключая константу, наибольшее p-значение получено для переменной 6 (PCRUD)

Тест Рамсея (RESET) -

Нулевая гипотеза: спецификация адекватна

Тестовая статистика:  $F(2, 44) = 3,2791$

p-значение =  $P(F(2, 44) > 3,2791) = 0,0470481$

Рисунок 2.28а – «длинная» модель МНК

Модель 3: МНК, использованы наблюдения 2014:12-2019:07 (T = 56)  
Зависимая переменная: XXX

	Коэффициент	Ст. ошибка	t-статистика	P-значение	
const	11116,7	887,660	12,52	6,91e-017	***
RU	35,8477	11,0872	3,233	0,0022	***
EXOIL	0,000167899	5,32734e-05	3,152	0,0028	***
PGAS	-251,187	40,0764	-6,268	9,04e-08	***
POIL	22,0702	10,8787	2,029	0,0479	**
PC1	-391,014	43,6559	-8,957	6,84e-012	***
PC2	-973,379	196,743	-4,947	9,26e-06	***
Среднее зав. перемен	14365,57	Ст. откл. зав. перемен	1025,097		
Сумма кв. остатков	5664679	Ст. ошибка модели	340,0084		
R-квадрат	0,901987	Испр. R-квадрат	0,889986		
F(6, 49)	75,15572	P-значение (F)	5,36e-23		
Лог. правдоподобие	-402,1440	Крит. Акаике	818,2880		
Крит. Шварца	832,4655	Крит. Хеннана-Куинна	823,7846		
Параметр rho	0,507482	Стат. Дарбина-Вотсона	0,980284		

Тест Рамсея (RESET) -

Нулевая гипотеза: спецификация адекватна

Тестовая статистика:  $F(2, 47) = 2,68151$

p-значение =  $P(F(2, 47) > 2,68151) = 0,0789257$

Рисунок 2.28б – «короткая» модель МНК

#### Тестирование модели 2:

Нулевая гипотеза: параметры регрессии нулевые

EUR, PCRUD, EENER

Тестовая статистика:  $F(3, 46) = 0,684426$ , Р-значение 0,566135

Omitting variables improved 3 of 3 information criteria.

Модель 4: МНК, использованы наблюдения 2014:12-2019:07 (T = 56)

Зависимая переменная: XXX

	Коэффициент	Ст. ошибка	t-статистика	Р-значение	
const	11116,7	887,660	12,52	6,91e-017	***
RU	35,8477	11,0872	3,233	0,0022	***
EXOIL	0,000167899	5,32734e-05	3,152	0,0028	***
PGAS	-251,187	40,0764	-6,268	9,04e-08	***
POIL	22,0702	10,8787	2,029	0,0479	**
PC1	-391,014	43,6559	-8,957	6,84e-012	***
PC2	-973,379	196,743	-4,947	9,26e-06	***
Среднее зав. перемен	14365,57	Ст. откл. зав. перемен	1025,097		
Сумма кв. остатков	5664679	Ст. ошибка модели	340,0084		
R-квадрат	0,901987	Испр. R-квадрат	0,889986		
F(6, 49)	75,15572	Р-значение (F)	5,36e-23		
Лог. правдоподобие	-402,1440	Крит. Акаике	818,2880		
Крит. Шварца	832,4655	Крит. Хеннана-Куинна	823,7846		
Параметр rho	0,507482	Стат. Дарбина-Вотсона	0,980284		

Рисунок 2.28в – тест на избыточные переменные

$H_0$  – параметры EUR, PCRUD и EENER являются незначимыми.  
 $t_{кр}(10\%) = 2,20689$ . t-стат = 0,684426. Р-значение = 0,566135. Значит нулевая гипотеза не отвергается, параметры EUR, PCRUD и EENER являются незначимыми на 10%-ом уровне значимости. Исключаем EUR, PCRUD и EENER

F(3, 46)

Правосторонняя вероятность = 0,1

Дополняющая вероятность = 0,9

Критическое значение = 2,20689

Рисунок 2.29 – Расчет критического значения

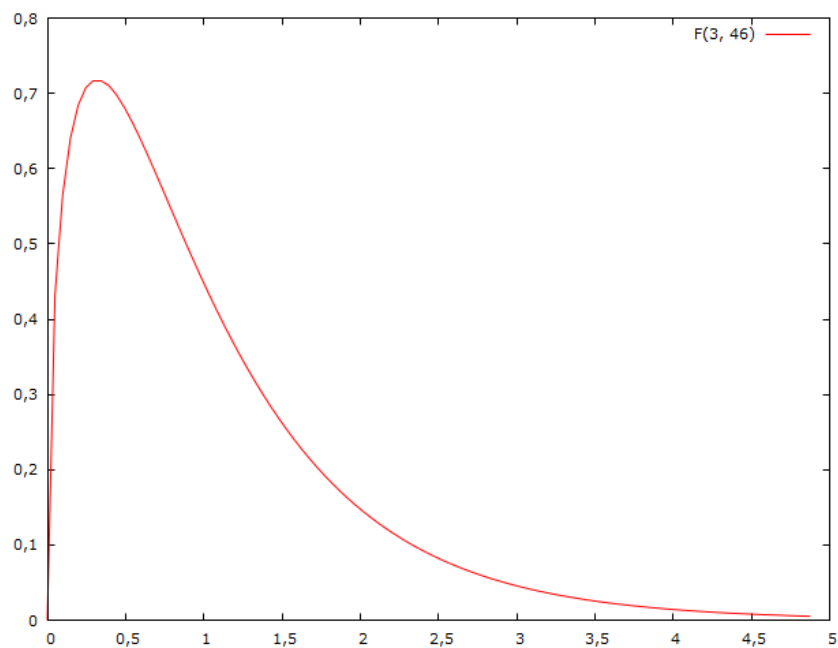


Рисунок 2.30 – Распределение F-статистики

Теперь необходимо провести RESET тест для «короткой модели»

Вспомогательная регрессия для теста Рамсея  
МНК, использованы наблюдения 2014:12–2019:07 (T = 56)  
Зависимая переменная: XXX

	Коэффициент	Ст. ошибка	t-статистика	P-значение
const	85984,9	275334	0,3123	0,7562
RU	368,219	1509,50	0,2439	0,8083
EXOIL	0,00167025	0,00707961	0,2359	0,8145
PGAS	-2612,27	10576,3	-0,2470	0,8060
POIL	224,860	926,619	0,2427	0,8093
PC1	-4121,58	16545,1	-0,2491	0,8044
PC2	-10114,1	41021,4	-0,2466	0,8063
yhat^2	-0,000872529	0,00304655	-0,2864	0,7758
yhat^3	2,55105e-08	7,31079e-08	0,3489	0,7287

Тестовая статистика:  $F = 2,681513$ ,  
p-значение =  $P(F(2,47) > 2,68151) = 0,0789$

Рисунок 2.31 – тест Рамсея (квадраты и кубы)

Нулевая гипотеза – спецификация модели адекватна (квадраты и кубы).  $t_{кр}(5\%) = 3,19506$ . t-стат = 2,68151. P-значение = 0,0789257. Значит нулевая гипотеза не отвергается, спецификация модели адекватна на 5%-ом уровне значимости.

### 3. Продолжение анализа модели

#### 3.1 Тест Феррара-Глобера

Коэффициенты корреляции, наблюдения 2014:12 – 2019:07

5% критические значения (двухсторонние) = 0,2632 для  $n = 56$

RU	EXOIL	PGAS	POIL	PC1	
1,0000	-0,0954	-0,2565	-0,4002	0,1617	RU
	1,0000	0,4513	0,8195	-0,3289	EXOIL
		1,0000	0,4912	0,2440	PGAS
			1,0000	-0,3947	POIL
				1,0000	PC1
PC2					
-0,0665	RU				
-0,5489	EXOIL				
-0,5158	PGAS				
-0,3666	POIL				
0,0000	PC1				
1,0000	PC2				

Рисунок 3.1 – коэффициенты корреляция

	RU	EXOIL	PGAS	POIL	PC1	PC2
RU	1	-0,0954	-0,2565	-0,4002	0,1617	-0,0665
EXOIL	-0,0954	1	0,4513	0,8195	-0,3289	-0,5489
PGAS	-0,2565	0,4513	1	0,4912	0,244	-0,5158
POIL	-0,4002	0,8195	0,4912	1	-0,3947	-0,3666
PC1	0,1617	-0,3289	0,244	-0,3947	1	0
PC2	-0,0665	-0,5489	-0,5158	-0,3666	0	1

Рисунок 3.2 – Корреляционная матрица

Определитель, $\rho$	0,052267
T	56
m	6
FG	153,9641

Рисунок 3.3 – Расчет тестовой статистики

Хи-квадрат (15)

Правосторонняя вероятность = 0,01

Дополняющая вероятность = 0,99

Критическое значение = 30,5779

Рисунок 3.3 – Поиск  $t_{кр}$

Хи-квадрат(15) : площадь правее 153,964 = 3,92897e-025  
(левее: 1)

Рисунок 3.4 – Поиск р-значения

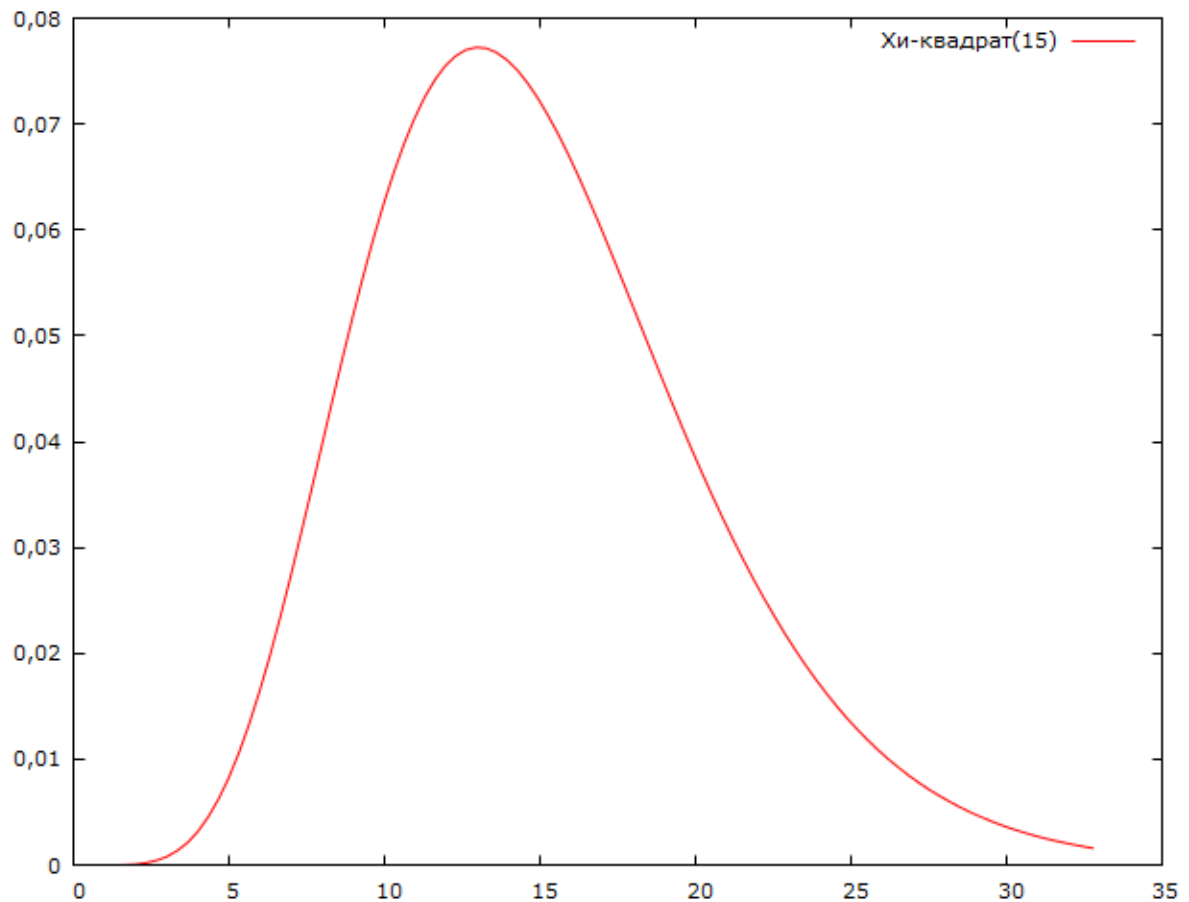


Рисунок 3.5 – Распределение тестовой статистики

Нулевая гипотеза – мультиколлинеарность отсутствует.  $t_{кр}(1\%) = 30,5779$ .  
 $t\text{-стат} = 153,9641$ . Р-значение =  $3,92897 \cdot 10^{-25}$ . Значит нулевая гипотеза не  
отвергается, мультиколлинеарность присутствует на 1%-ом уровне  
значимости, **тест не пройден**.

## 3.2 Тесты по проверке гомоскедастичности

### 3.2.1 Тест Уайта

Модель 3: МНК, использованы наблюдения 2014:12-2019:07 (T = 56)

Зависимая переменная: XXX

	Коэффициент	Ст. ошибка	t-статистика	P-значение	
const	11116,7	887,660	12,52	6,91e-017	***
RU	35,8477	11,0872	3,233	0,0022	***
EXOIL	0,000167899	5,32734e-05	3,152	0,0028	***
PGAS	-251,187	40,0764	-6,268	9,04e-08	***
POIL	22,0702	10,8787	2,029	0,0479	**
PC1	-391,014	43,6559	-8,957	6,84e-012	***
PC2	-973,379	196,743	-4,947	9,26e-06	***
Среднее зав. перемен	14365,57	Ст. откл. зав. перемен	1025,097		
Сумма кв. остатков	5664679	Ст. ошибка модели	340,0084		
R-квадрат	0,901987	Испр. R-квадрат	0,889986		
F(6, 49)	75,15572	P-значение (F)	5,36e-23		
Лог. правдоподобие	-402,1440	Крит. Акаике	818,2880		
Крит. Шварца	832,4655	Крит. Хеннана-Куинна	823,7846		
Параметр rho	0,507482	Стат. Дарбина-Вотсона	0,980284		

Тест Рамсея (RESET) -

Нулевая гипотеза: спецификация адекватна

Тестовая статистика:  $F(2, 47) = 2,68151$

p-значение =  $P(F(2, 47) > 2,68151) = 0,0789257$

Тест Вайта (White) на гетероскедастичность -

Нулевая гипотеза: гетероскедастичность отсутствует

Тестовая статистика: LM = 41,281

p-значение =  $P(\text{Chi-квадрат}(27) > 41,281) = 0,0386937$

Тест Бриша-Пэгуана (Breusch-Pagan) на гетероскедастичность -

Нулевая гипотеза: гетероскедастичность отсутствует

Тестовая статистика: LM = 13,7184

p-значение =  $P(\text{Chi-квадрат}(6) > 13,7184) = 0,0329454$

Тест на нормальное распределение ошибок -

Нулевая гипотеза: ошибки распределены по нормальному закону

Тестовая статистика: Хи-квадрат(2) = 1,7133

p-значение = 0,424582

Рисунок 3.6 – модель МНК



Тест Вайта (White) на гетероскедастичность  
МНК, использованы наблюдения 2014:12-2019:07 (T = 56)  
Зависимая переменная: uhat^2

	Коэффициент	Ст. ошибка	t-статистика	P-значение	
const	-8,18270e+06	8,43038e+06	-0,9706	0,3400	
RU	148893	213282	0,6981	0,4909	
EXOIL	-0,354995	0,721729	-0,4919	0,6266	
PGAS	-923897	520580	-1,775	0,0868	*
POIL	297387	151400	1,964	0,0595	*
PC1	211065	784044	0,2692	0,7897	
PC2	984668	3,16184e+06	0,3114	0,7578	
sq_RU	-502,365	1310,51	-0,3833	0,7044	
X2_X3	0,0106940	0,00963540	1,110	0,2765	
X2_X4	7206,58	6857,39	1,051	0,3023	
X2_X5	-4133,80	1921,74	-2,151	0,0402	**
X2_X6	-894,992	8205,90	-0,1091	0,9139	
X2_X7	-15050,4	40769,2	-0,3692	0,7148	
sq_EXOIL	-7,44071e-08	2,35899e-08	-3,154	0,0038	***
X3_X4	0,00757364	0,0211057	0,3588	0,7224	
X3_X5	0,0175762	0,00912208	1,927	0,0642	*
X3_X6	5,42631e-05	0,0502349	0,001080	0,9991	
X3_X7	-0,0200548	0,113511	-0,1767	0,8610	
sq_PGAS	50919,0	15426,2	3,301	0,0026	***
X4_X5	-5913,04	4989,44	-1,185	0,2459	
X4_X6	-35075,4	29155,6	-1,203	0,2390	
X4_X7	28668,2	82637,1	0,3469	0,7312	
sq_POIL	-1386,83	1062,45	-1,305	0,2024	
X5_X6	764,410	6532,38	0,1170	0,9077	
X5_X7	-6642,44	28527,4	-0,2328	0,8176	
sq_PC1	33025,3	48087,3	0,6868	0,4979	
X6_X7	-48710,1	134937	-0,3610	0,7208	
sq_PC2	149044	256931	0,5801	0,5665	

Неисправленный R-квадрат = 0,737161

Тестовая статистика:  $TR^2 = 41,281027$ ,  
p-значение =  $P(\text{Хи-квадрат}(27) > 41,281027) = 0,038694$

Рисунок 3.7 – тест Уайта

Нулевая гипотеза – гомоскедастичность присутствует.  $t_{кр}(1\%) = 46,9629$ . t-стат = 41,281027. P-значение = 0,038694. Значит нулевая гипотеза не отвергается, гомоскедастичность присутствует на 1%-ом уровне значимости.

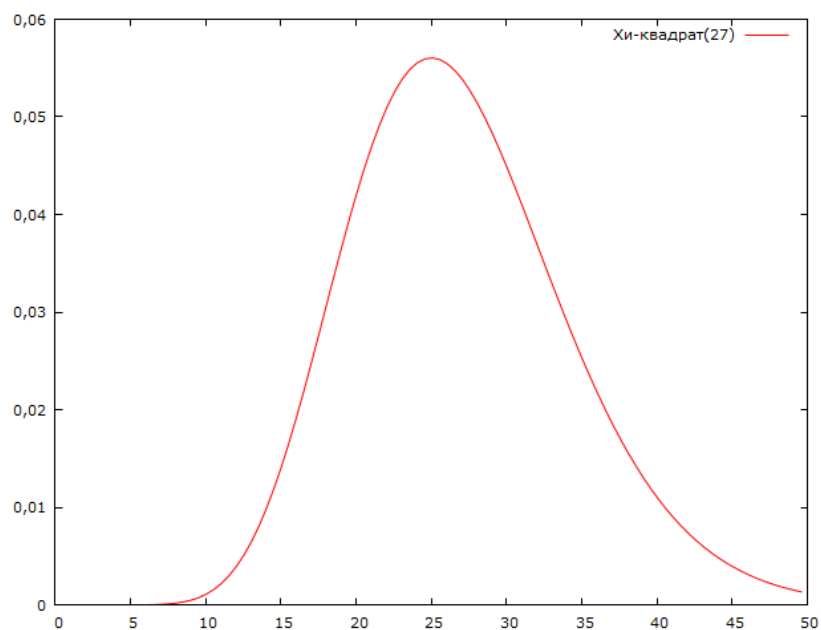


Рисунок 3.8 – тестовая статистика для теста Уайта

### 3.2.2 Тест Бриша-Пэгана

Тест Бриша-Пэгана (Breusch-Pagan) на гетероскедастичность  
МНК, использованы наблюдения 2014:12-2019:07 (T = 56)  
Зависимая переменная: Масштабированное  $\text{what}^2$

	Коэффициент	Ст. ошибка	t-статистика	P-значение	
const	0,128544	3,35160	0,03835	0,9696	
RU	0,0124570	0,0418628	0,2976	0,7673	
EXOIL	4,39348e-07	2,01148e-07	2,184	0,0338	**
PGAS	-0,375640	0,151319	-2,482	0,0165	**
POIL	-0,0238674	0,0410753	-0,5811	0,5639	
PC1	0,0821170	0,164835	0,4982	0,6206	
PC2	-0,471195	0,742857	-0,6343	0,5288	

Объясненная сумма квадратов = 27,4367

Тестовая статистика: LM = 13,718362,  
p-значение = P(Хи-квадрат(6) > 13,718362) = 0,032945

Рисунок 3.9 – тест Бриша-Пэгана

Нулевая гипотеза – гомоскедастичность присутствует.  $t_{кр}(1\%) = 16,8119$ . t-стат = 13,748362. P-значение = 0,032945. Значит нулевая гипотеза не отвергается, гомоскедастичность присутствует на 1%-ом уровне значимости.

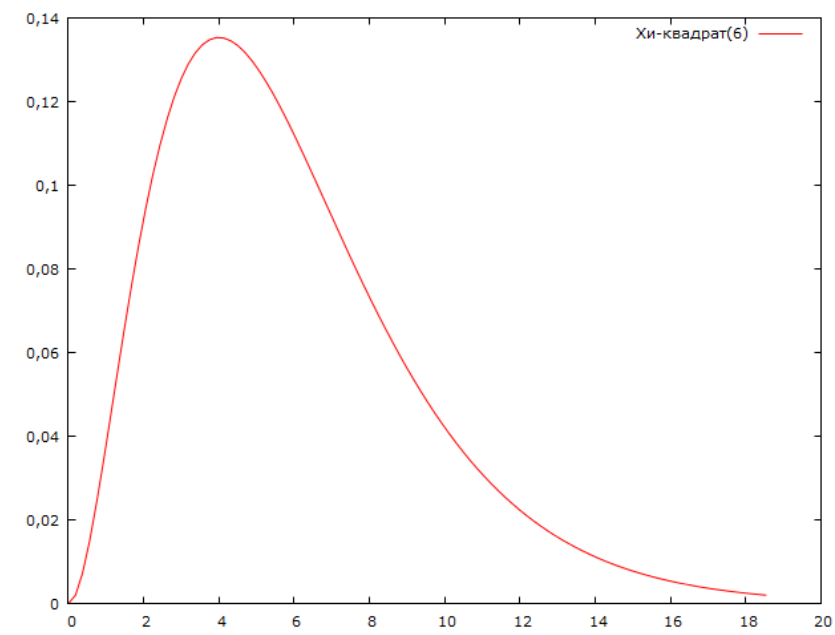


Рисунок 3.10 – тестовая статистика для теста Бриша-Пэгана

### 3.3. Тест на нормальное распределение ошибок

Распределение частот для uhat3, наблюдения 1-56  
Количество столбцов = 7, среднее = -1,55913e-012, ст. откл. = 340,008

интервал	середина	частота	отн.	инт.
< -526,83	-647,71	3	5,36%	5,36% *
-526,83 - -285,07	-405,95	6	10,71%	16,07% ***
-285,07 - -43,317	-164,19	19	33,93%	50,00% *****
-43,317 - 198,44	77,561	14	25,00%	75,00% *****
198,44 - 440,19	319,32	8	14,29%	89,29% *****
440,19 - 681,95	561,07	4	7,14%	96,43% **
>= 681,95	802,83	2	3,57%	100,00% *

Нулевая гипотеза - нормальное распределение:  
Хи-квадрат(2) = 1,713 р-значение 0,42458

Рисунок 3.11 – тест на нормальное распределение ошибок

Нулевая гипотеза – ошибки распределены по нормальному закону.  
 $t_{кр}(10\%) = 4,60517$ .  $t\text{-стат} = 1,7133$ .  $P\text{-значение} = 0,424582$ . Значит нулевая гипотеза не отвергается, ошибки распределены по нормальному закону на 10%-ом уровне значимости.

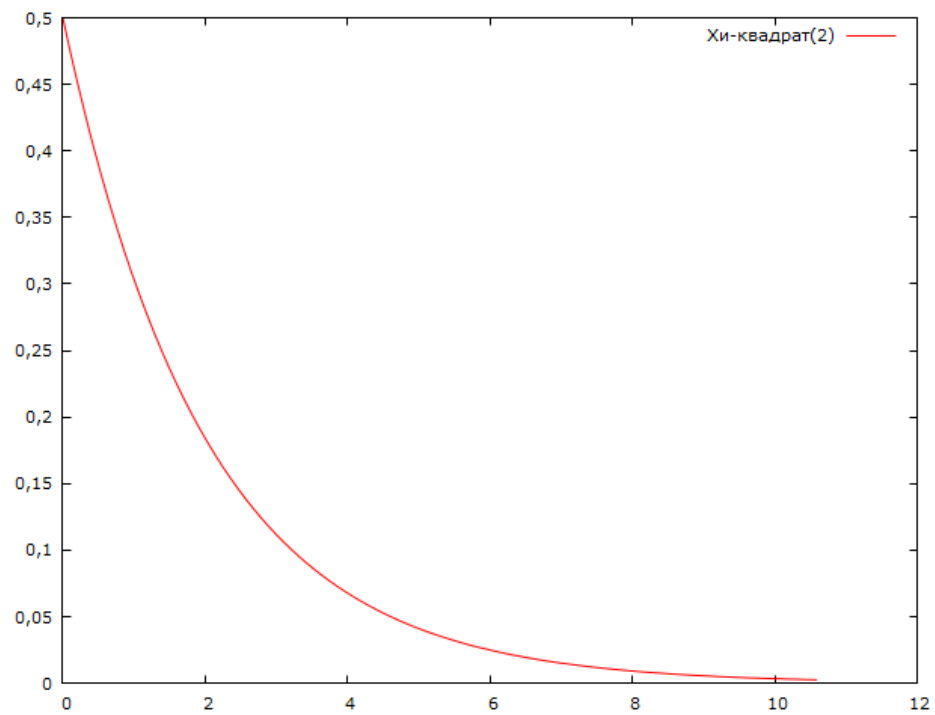
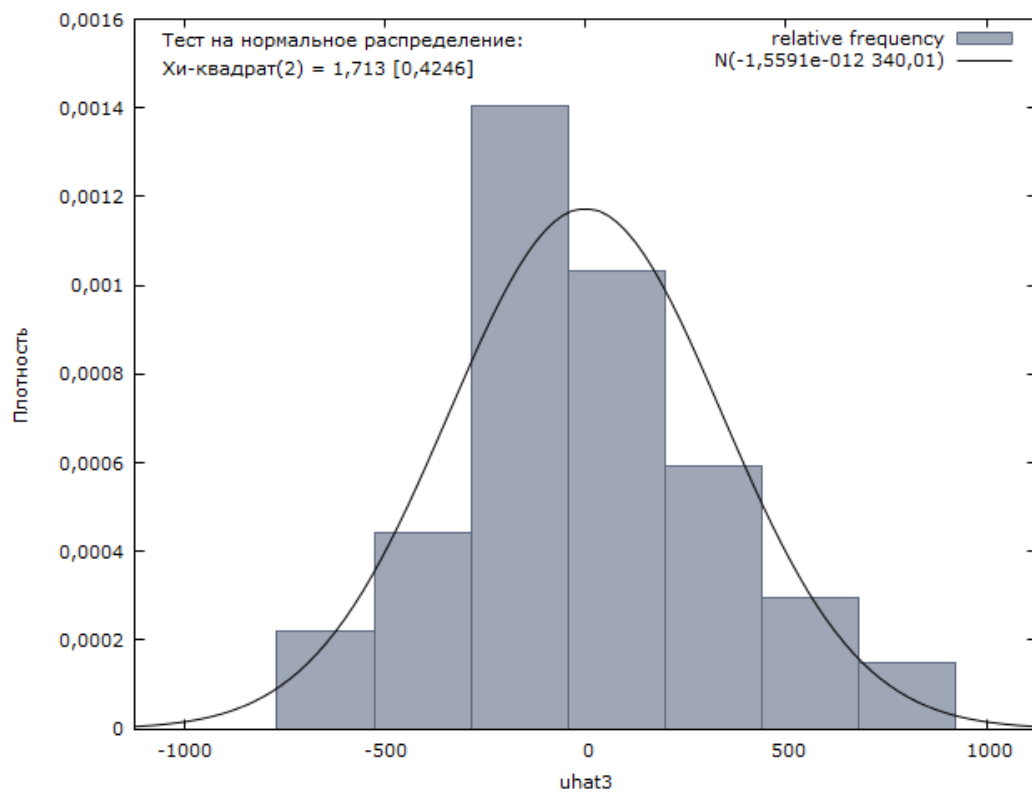


Рисунок 3.12 – распределение тестовой статистики теста на нормальность распределения ошибок



Рисунок

3.13 – плотность распределения ошибок

Модель 3: МНК, использованы наблюдения 2014:12-2019:07 (T = 56)  
Зависимая переменная: XXX

	Коэффициент	Ст. ошибка	t-статистика	P-значение	
const	11116,7	887,660	12,52	6,91e-017	***
RU	35,8477	11,0872	3,233	0,0022	***
EXOIL	0,000167899	5,32734e-05	3,152	0,0028	***
PGAS	-251,187	40,0764	-6,268	9,04e-08	***
POIL	22,0702	10,8787	2,029	0,0479	**
PC1	-391,014	43,6559	-8,957	6,84e-012	***
PC2	-973,379	196,743	-4,947	9,26e-06	***
Среднее зав. перемен	14365,57	Ст. откл. зав. перемен	1025,097		
Сумма кв. остатков	5664679	Ст. ошибка модели	340,0084		
R-квадрат	0,901987	Испр. R-квадрат	0,889986		
F(6, 49)	75,15572	P-значение (F)	5,36e-23		
Лог. правдоподобие	-402,1440	Крит. Акаике	818,2880		
Крит. Шварца	832,4655	Крит. Хеннана-Куинна	823,7846		
Параметр rho	0,507482	Стат. Дарбина-Вотсона	0,980284		

Тест Рамсея (RESET) -

Нулевая гипотеза: спецификация адекватна

Тестовая статистика:  $F(2, 47) = 2,68151$

p-значение =  $P(F(2, 47) > 2,68151) = 0,0789257$

Тест Вайта (White) на гетероскедастичность -

Нулевая гипотеза: гетероскедастичность отсутствует

Тестовая статистика: LM = 41,281

p-значение =  $P(\text{Chi-квадрат}(27) > 41,281) = 0,0386937$

Тест Бриша-Пэгуана (Breusch-Pagan) на гетероскедастичность -

Нулевая гипотеза: гетероскедастичность отсутствует

Тестовая статистика: LM = 13,7184

p-значение =  $P(\text{Chi-квадрат}(6) > 13,7184) = 0,0329454$

Тест на нормальное распределение ошибок -

Нулевая гипотеза: ошибки распределены по нормальному закону

Тестовая статистика:  $\text{Chi-квадрат}(2) = 1,7133$

p-значение = 0,424582

Рисунок 3.14 – модель МНК

### 3.3. Вывод уравнения

	Среднее	Медиана	S.D.	Min	Max
PURAN	27,51	25,87	6,134	18,57	39,32
EMP	162,7	154,1	20,76	139,7	200,6

Рисунок 3.15 – Описательная статистика

	PC1	PC2		Среднее	S.D.			
PURAN	0,707	-0,707		27,51	6,134			
EMP	0,707	0,707		162,7	20,76			
	11116,7	-391,01	-973,38					
PURAN	-45,068	112,191		PURAN	67,1229			
EMP	-13,3163	-33,1493		EMP	-46,4656			
				Const	16830,1			
PURAN	1239,82	-3086,37						
EMP	2166,57	5393,39						
Итоговое уравнение имеет вид:								
$Y = 16830 - 35,85 * RU - 0,000168 * EXOIL - 251,19 * PGAS + 22,07 * POIL + 67,12 * PURAN - 46,47 * EMP$								

Рисунок 3.15 – Вывод уравнения

Выводы:

1. При увеличении курса национальной валюты по отношению к доллару США на 1 рубль стоимость фиксированного набора потребительских товаров и услуг падает на 35,85 рублей.

2. При увеличении мировой цены на уран на 1 доллар за фунт стоимость фиксированного набора потребительских товаров и услуг увеличится на 67,12 рублей

3. При увеличении экспорта сырой нефти из Российской Федерации на 1 млрд долларов стоимость фиксированного набора потребительских товаров и услуг уменьшится на 168 рублей.

4. При увеличении цены на природный газ на 1 доллар за кубометр стоимость фиксированного набора потребительских товаров и услуг падает на 251,19 рублей.

5. При увеличении цен на сырую нефть: Западный Техас, Средний уровень (WTI) на 1\$ за баррель стоимость фиксированного набора потребительских товаров и услуг возрастет на 22,07 рублей.

6. При увеличении всех занятых человек в добыче нефти и газа в США на 1 тысячу человек стоимость фиксированного набора потребительских товаров и услуг падает на 46,47 рублей.

### 3.3. Построение фиктивного прогноза

Модель 2: МНК, использованы наблюдения 2014:12-2019:06 (T = 55)  
Зависимая переменная: XXX

	Коэффициент	Ст. ошибка	t-статистика	P-значение	
const	11032,1	860,713	12,82	4,13e-017	***
RU	37,7500	10,7781	3,502	0,0010	***
EXOIL	0,000140331	5,33077e-05	2,632	0,0114	**
PGAS	-225,175	40,8214	-5,516	1,36e-06	***
POIL	22,4871	10,5383	2,134	0,0380	**
PC1	-408,462	43,1239	-9,472	1,45e-012	***
PC2	-1001,31	191,036	-5,241	3,53e-06	***
Среднее зав. перемен	14333,64	Ст. откл. зав. перемен	1006,041		
Сумма кв. остатков	5205373	Ст. ошибка модели	329,3103		
R-квадрат	0,904758	Испр. R-квадрат	0,892853		
F(6, 48)	75,99687	P-значение (F)	8,33e-23		
Лог. правдоподобие	-393,1330	Крит. Акаике	800,2660		
Крит. Шварца	814,3173	Крит. Хеннана-Куинна	805,6998		
Параметр rho	0,570984	Стат. Дарбина-Вотсона	0,872951		

Рисунок 3.16 – Модель с отсутствием крайнего временного лага

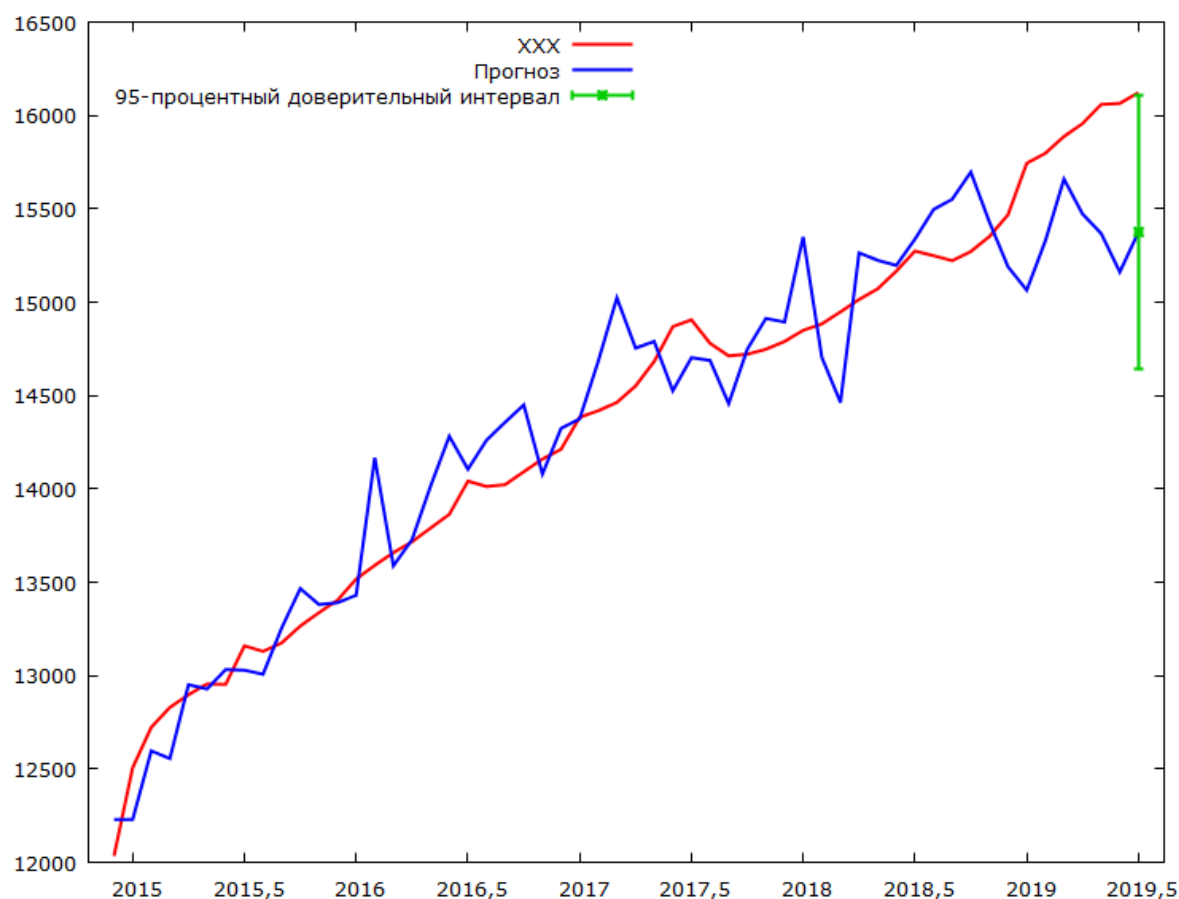


Рисунок 3.17 – Прогноз

Статистика для оценки прогноза using 1 observations

Средняя ошибка (ME)	747,64
Корень из средней квадратичной ошибки (RMSE)	747,64
Средняя абсолютная ошибка (MAE)	747,64
Средняя процентная ошибка (MPE)	4,6374
Средняя абсолютная процентная ошибка (MAPE)	4,6374
U-статистика Тейла (Theil's U)	0

Рисунок 3.18 – Статистика для оценки прогноза

Последнее значение попало в 95%-ый доверительный интервал.

Вывод: Прогноз подтвердился

### 3.4 Автокорреляция остатков

#### 3.4.1 Тест Дарбина-Уотсона



Нулевая гипотеза – автокорреляция отсутствует.

Модель 1					
Модель 1: МНК, использованы наблюдения 2014:12-2019:07 (T = 56)					
Зависимая переменная: XXX					
	Коэффициент	Ст. ошибка	t-статистика	P-значение	
const	11116,7	887,660	12,52	6,91e-017	***
RU	35,8477	11,0872	3,233	0,0022	***
EXOIL	0,000167899	5,32734e-05	3,152	0,0028	***
PGAS	-251,187	40,0764	-6,268	9,04e-08	***
POIL	22,0702	10,8787	2,029	0,0479	**
PC1	-391,014	43,6559	-8,957	6,84e-012	***
PC2	-973,379	196,743	-4,947	9,26e-06	***
Среднее зав. перемен	14365,57	Ст. откл. зав. перемен	1025,097		
Сумма кв. остатков	5664679	Ст. ошибка модели	340,0084		
R-квадрат	0,901987	Испр. R-квадрат	0,889986		
F(6, 49)	75,15572	P-значение (F)	5,36e-23		
Лог. правдоподобие	-402,1440	Крит. Акаике	818,2880		
Крит. Шварца	832,4655	Крит. Хеннана-Куинна	823,7846		
Параметр rho	0,507482	Стат. Дарбина-Вотсона	0,980284		

Рисунок 3.19 – Модель МНК

5% критические значения для статистики Дарбина-Вотсона, n = 56, k = 6

dL = 1,3424

dU = 1,8124

Рисунок 3.20 – Критические значения

$$DW = 0.980284$$

$0 < DW < DL$ , значит  $H_0$  отвергается, положительная автокорреляция присутствует.

$$DW = 2(1 - \rho)$$

$$\rho = 0.509858$$

### 3.4.2 Избавление от автокорреляции

Модель 1: МНК, использованы наблюдения 2015:01-2019:07 (T = 55)  
 Зависимая переменная: XXX\_NEW

	Коэффициент	Ст. ошибка	t-статистика	P-значение	
const	5540,65	496,189	11,17	6,05e-015	***
RU_NEW	37,9850	12,3941	3,065	0,0036	***
EXOIL_NEW	5,78808e-05	3,45139e-05	1,677	0,1000	
PGAS_NEW	-144,857	47,1861	-3,070	0,0035	***
POIL_NEW	21,6021	9,03382	2,391	0,0208	**
PC2_NEW	-748,007	210,696	-3,550	0,0009	***
PC_NEW	-465,334	59,8864	-7,770	4,91e-010	***
Среднее зав. перемен	7099,828	Ст. откл. зав. перемен	474,7166		
Сумма кв. остатков	3028525	Ст. ошибка модели	251,1857		
R-квадрат	0,751132	Испр. R-квадрат	0,720024		
F(6, 48)	24,14560	P-значение (F)	6,00e-13		
Лог. правдоподобие	-378,2386	Крит. Акаике	770,4772		
Крит. Шварца	784,5285	Крит. Хеннана-Куинна	775,9109		
Параметр rho	0,581251	Стат. Дарбина-Вотсона	0,838473		

Исключая константу, наибольшее p-значение получено для переменной 22 (EXOIL\_NEW)

Рисунок 3.21 – Модель МНК

5% критические значения для статистики Дарбина-Вотсона, n = 55, k = 6

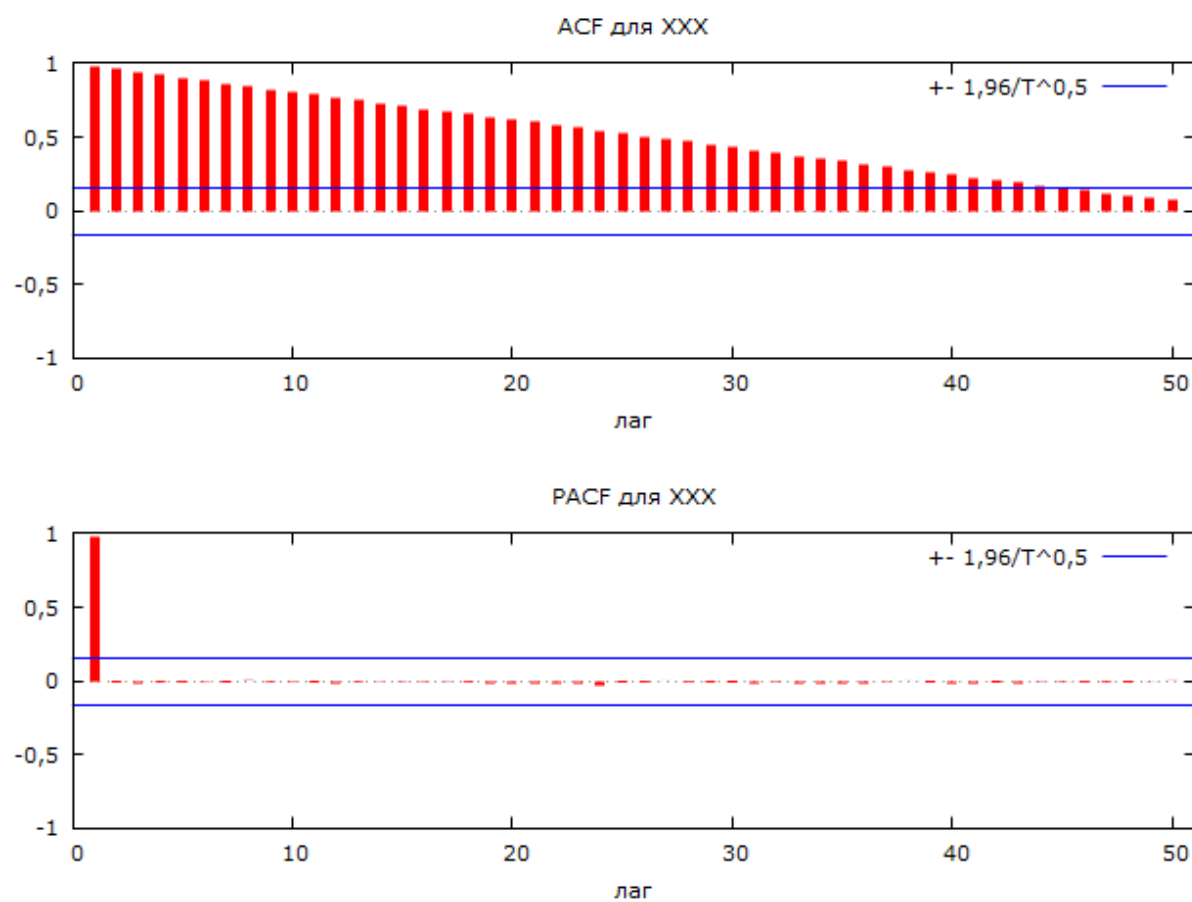
dL = 1,3344  
 dU = 1,8137

Рисунок 3.22 – Критические значения

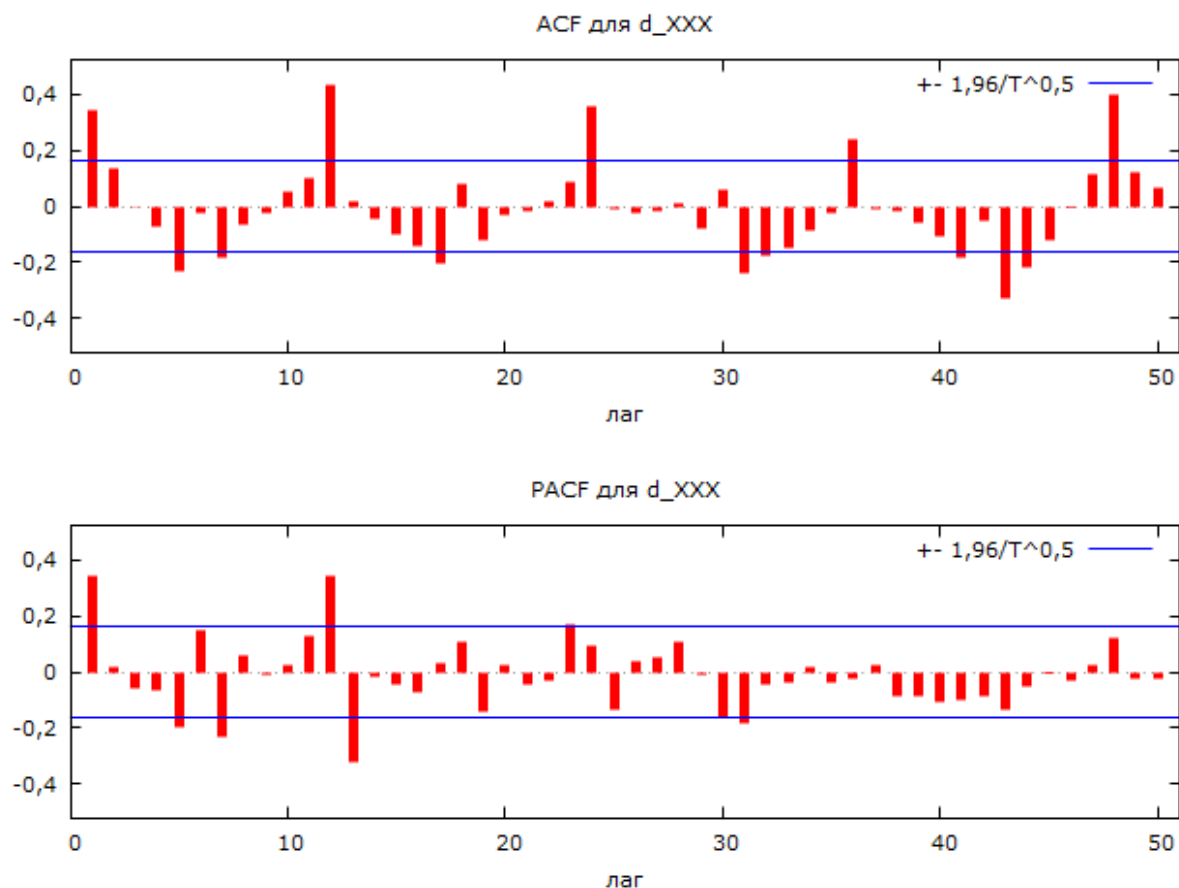
$$DW = 0,838473$$

$0 < DW < DL$ , значит  $H_0$  отвергается, положительная автокорреляция присутствует.

## 4.1 Коррелограмма



Так как на коррелограмме ряда первая автокорреляция приближается к единице, то приводим коррелограмму для временного ряда первой разности.



У данного временного ряда присутствует сезонная составляющая и есть подозрение на наличие единичного корня (стохастического тренда)

## 4.2 тест Дики-Фуллера

```
Расширенный тест Дики-Фуллера для XXX
testing down from 13 lags, criterion Крит. Акаике
объем выборки 137
нулевая гипотеза единичного корня:  $\alpha = 1$ 

тест без константы
включая 13 лага(-ов) для  $(1-L)XXX$ 
модель:  $(1-L)y = (\alpha-1)y(-1) + \dots + e$ 
оценка для  $(\alpha - 1)$ : 0,00242218
тестовая статистика:  $\tau_{nc}(1) = 2,10343$ 
асимпт. р-значение 0,992
коэф. автокорреляции 1-го порядка для  $e$ : 0,013
лаг для разностей:  $F(13, 123) = 8,219 [0,0000]$ 
```

тест "без константы" Нулевая гипотеза – есть единичный корень.  
tстат = 2,10343 Р-значение = 0,992

Значит нулевая гипотеза не отвергается на всех стандартных уровнях значимости, единичный корень присутствует.

```

Расширенный тест Дики-фуллера для XXX
testing down from 13 lags, criterion Крит. Акаике
объем выборки 137
нулевая гипотеза единичного корня: а = 1

тест с константой
включая 13 лага(-ов) для (1-L)XXX
модель: (1-L)y = b0 + (a-1)*y(-1) + ... + e
оценка для (a - 1): -0,000234156
тестовая статистика: tau_c(1) = -0,126552
асимпт. р-значение 0,9448
коэф. автокорреляции 1-го порядка для e: 0,004
лаг для разностей: F(13, 122) = 7,876 [0,0000]

```

тест "с константой" Нулевая гипотеза – есть единичный корень  
 $t_{kp}(10\%) = -2,57$   $t$ -стат = -0,126552 Р-значение = 0,9448

Значит нулевая гипотеза не отвергается на всех стандартных уровнях значимости, единичный корень присутствует.

```

Расширенный тест Дики-фуллера для XXX
testing down from 13 lags, criterion Крит. Акаике
объем выборки 137
нулевая гипотеза единичного корня: а = 1

с константой и трендом
включая 13 лага(-ов) для (1-L)XXX
модель: (1-L)y = b0 + b1*t + (a-1)*y(-1) + ... + e
оценка для (a - 1): -0,0409552
тестовая статистика: tau_ct(1) = -2,05262
асимпт. р-значение 0,5717
коэф. автокорреляции 1-го порядка для e: 0,016
лаг для разностей: F(13, 121) = 8,081 [0,0000]

```

тест "с константой и трендом" Нулевая гипотеза – есть единичный корень  
 $t_{kp}(10\%) = -3,12$   $t$ -стат = -2,05262 Р-значение = 0,5717

Значит нулевая гипотеза не отвергается на всех стандартных уровнях значимости, единичный корень присутствует

```

Расширенный тест Дики-фуллера для XXX
testing down from 13 lags, criterion Крит. Акаике
объем выборки 137
нулевая гипотеза единичного корня: а = 1

with constant, linear and quadratic trend
включая 13 лага(-ов) для (1-L)XXX
модель: (1-L)y = b0 + b1*t + b2*t^2 + (a-1)*y(-1) + ... + e
оценка для (a - 1): -0,0470635
тестовая статистика: tau_ctt(1) = -1,9975
асимпт. р-значение 0,8181
коэф. автокорреляции 1-го порядка для e: 0,018
лаг для разностей: F(13, 120) = 8,039 [0,0000]

```

тест "с константой, трендом и квадратичным трендом" Нулевая гипотеза – есть единичный корень  $t\text{-стат} = -1,9975$   $P\text{-значение} = 0,818$

Значит нулевая гипотеза не отвергается на всех стандартных уровнях значимости, единичный корень присутствует. Также стоит отметить, что минимальное значение тестовой статистики (с учетом знака) наблюдается на тесте "с константой и трендом". Значит делаем вывод о присутствии детерминированного тренда.

### 4.3 Выбор параметров и построение модели ARIMA

AR (сезонная)	I	AR	MA	AIC	BIC
1	1	1	0	1527,485	1539,165
1	1	2	0	1518,861	1533,425
1	1	3	0	1527,208	1516,86
1	1	4	0	1501,495	1521,78
1	1	5	0	1491,422	1514,545
1	1	6	0	1482,95	1508,895
1	1	7	0	1474,694	1503,446
1	1	8	0	1466,482	1498,025
1	1	9	0	1458,297	1492,614
1	1	10	0	1450,115	1487,192
AR (сезонная)	I	AR	MA	AIC	BIC
1	1	10	0	1450,115	1487,192
1	1	10	1	1448,78	1491,56
1	1	10	2	1439,297	1484,929
1	1	10	3	1449,831	1498,316
1	1	10	4	1452,074	1503,411
1	1	10	5	1458,154	1480,172
1	1	10	6	1453,94	1477,116
1	1	10	7	1454,854	1479,188
1	1	10	8	1456,564	1482,057
1	1	10	9	1459,669	1486,322
1	1	10	10	1460,869	1488,68

По критерию Акаике и Шварца наилучший порядок авторегрессии  $AR = 10$ , скользящего среднего по критерию Акаике и Шварца  $MA = 2$ .

Оценок функции: 113

Оценок градиента: 34

Модель 7: ARMAX, использованы наблюдения 2008:12-2019:07 (T = 128)

Оценено с помощью метода ВННН (Berndt, Hall, Hall and Hausman) (условный метод МП)

Зависимая переменная: (1-L) XXX

	Коэффициент	Ст. ошибка	z	P-значение	
const	5,72211	5,02604	1,138	0,2549	
phi_1	2,07995	0,0914838	22,74	1,99e-114	***
phi_2	-1,67871	0,265037	-6,334	2,39e-010	***
phi_3	0,420672	0,443789	0,9479	0,3432	
phi_4	0,114062	0,474979	0,2401	0,8102	
phi_5	-0,274644	0,397687	-0,6906	0,4898	
phi_6	0,251982	0,310025	0,8128	0,4163	
phi_7	-0,0551077	0,247552	-0,2226	0,8238	
phi_8	-0,0551402	0,302969	-0,1820	0,8556	
phi_9	0,0486745	0,306773	0,1587	0,8739	
phi_10	-0,0665115	0,145319	-0,4577	0,6472	
Phi_1	0,686674	0,0634246	10,83	2,57e-027	***
theta_1	-1,66999	0,0595345	-28,05	3,91e-173	***
theta_2	0,999998	0,0466700	21,43	7,48e-102	***
time	-0,0105817	0,0451000	-0,2346	0,8145	
Среднее зав. перемен	71,70836	Ст. откл. зав. перемен	82,72020		
Среднее инноваций	-0,930417	Ст. откл. инноваций	59,04589		
R-квадрат	0,999541	Испр. R-квадрат	0,999489		
Лог. правдоподобие	-703,6485	Крит. Акаике	1439,297		
Крит. Шварца	1484,929	Крит. Хеннана-Куинна	1457,838		
	Действ. часть	Мним. часть	Модуль	Частота	
AR					
Корень 1	1,0431	-0,3523	1,1009	-0,0518	
Корень 2	1,0431	0,3523	1,1009	0,0518	
Корень 3	0,3994	-1,4263	1,4811	-0,2065	
Корень 4	0,3994	1,4263	1,4811	0,2065	
Корень 5	-1,4911	0,4611	1,5608	0,4523	
Корень 6	-1,4911	-0,4611	1,5608	-0,4523	
Корень 7	-0,3946	-1,4475	1,5003	-0,2924	
Корень 8	-0,3946	1,4475	1,5003	0,2924	
Корень 9	0,8091	-0,6135	1,0154	-0,1033	
Корень 10	0,8091	0,6135	1,0154	0,1033	
AR (сезонные)					
Корень 1	1,4563	0,0000	1,4563	0,0000	
MA					
Корень 1	0,8350	-0,5503	1,0000	-0,0927	
Корень 2	0,8350	0,5503	1,0000	0,0927	

Итоговая модель – ARIMA(10,1,2) с сезонной авторегрессией первого порядка и временным трендом.

## 5.1 График наблюдаемых и расчетных значений построенной модели ARIMA; график остатков.

Основываясь на том, что коэффициенты  $AR > 2$  незначимы и для  $AR = 2$  имеется локальный минимум AIC; выберем модель с  $AR = 2$ . Проанализировав такие модели получаем, что наилучший результат будет у следующей модели: С трендом; с единичным корнем;  $AR = 2$ ;  $MA = 0$ ; Сезонное  $AR = 1$ ; Сезонное  $MA = 1$ .

Оценок функции: 112

Оценок градиента: 56

Модель 1: ARMAX, использованы наблюдения 2008:04-2019:07 (T = 136)

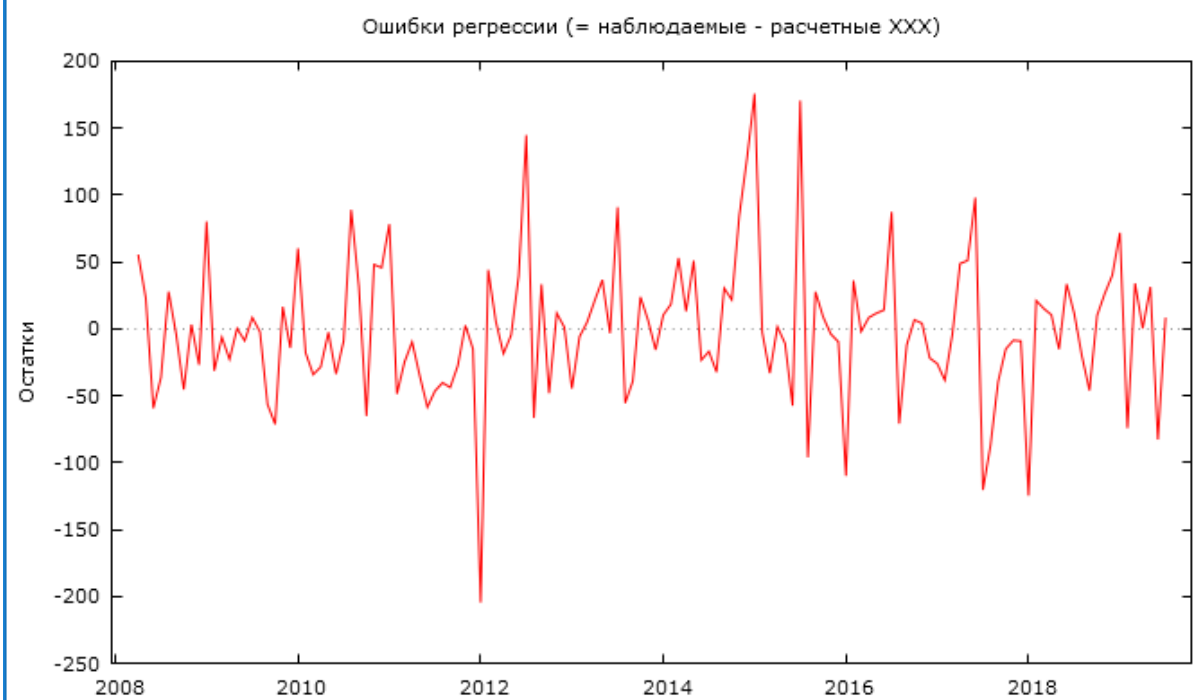
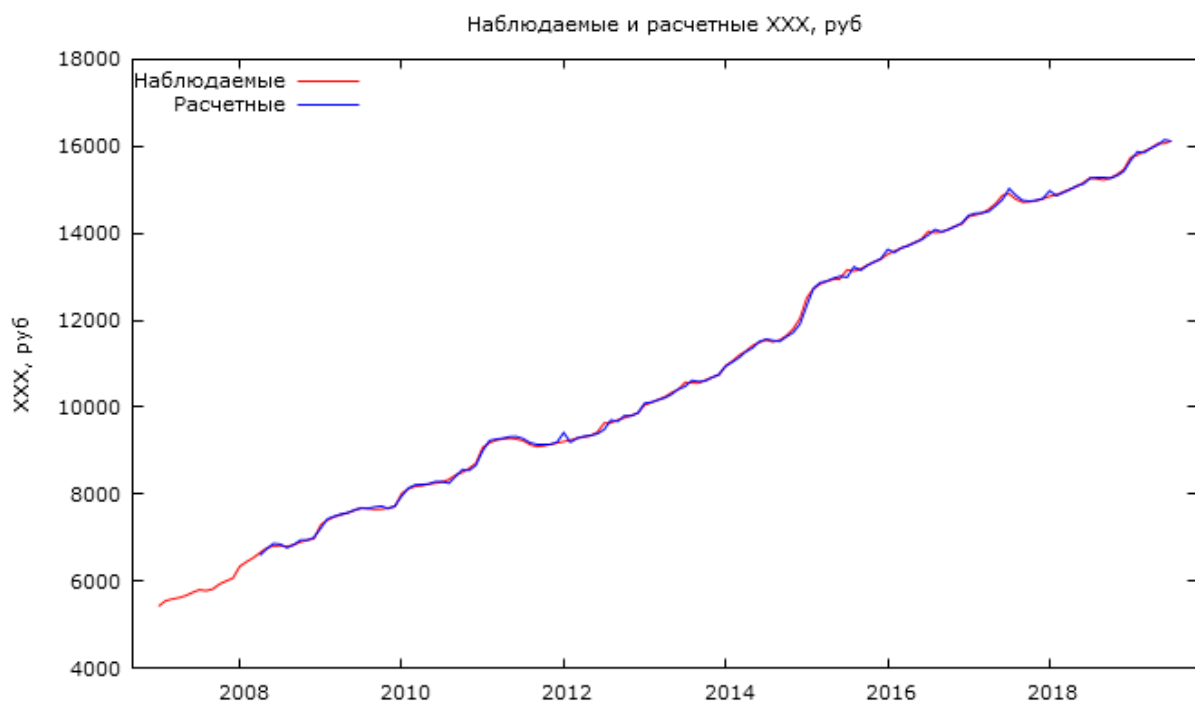
Оценено с помощью метода ВННН (Berndt, Hall, Hall and Hausman) (условный метод МП)

Зависимая переменная: (1-L) XXX

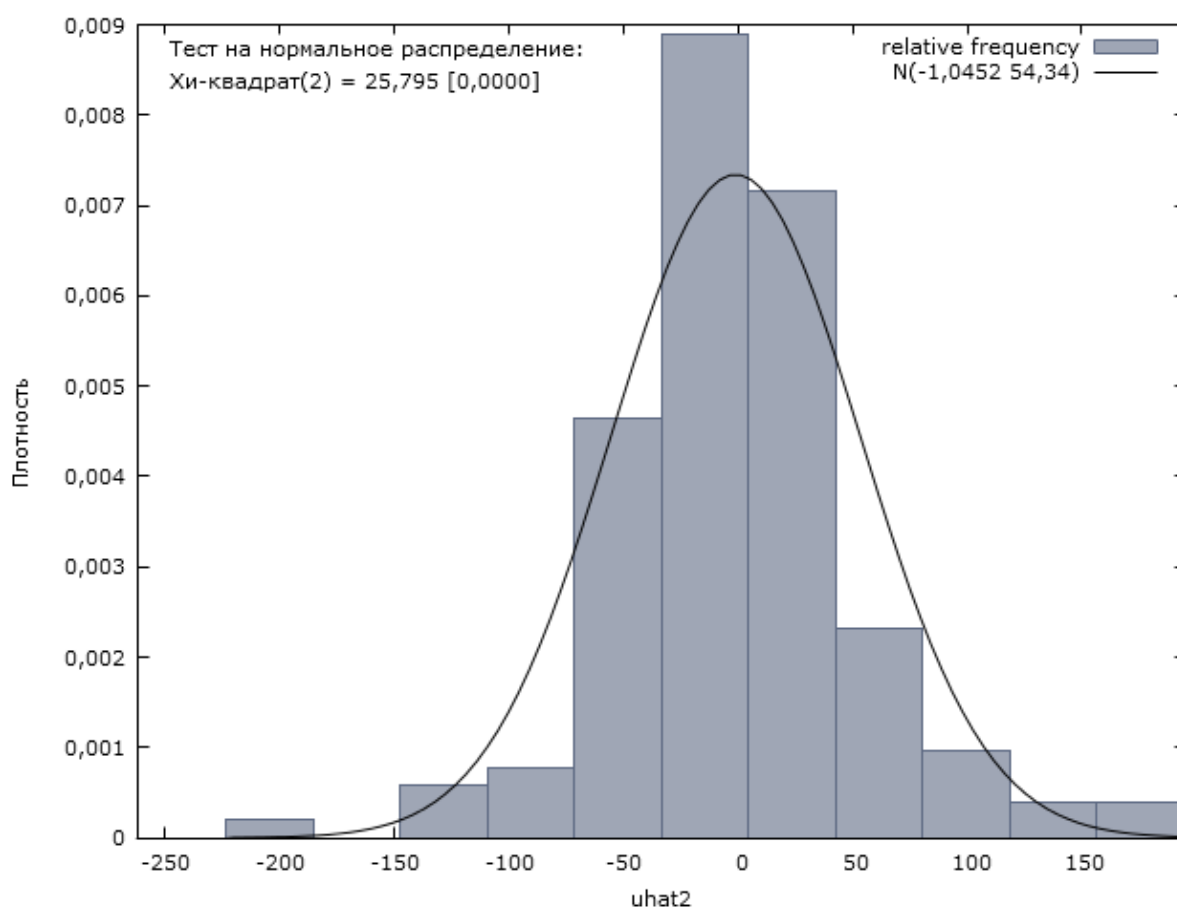
	Коэффициент	Ст. ошибка	z	P-значение	
const	0,593578	4,37899	0,1356	0,8922	
phi_1	0,520636	0,0729887	7,133	9,81e-013	***
phi_2	-0,0233477	0,109814	-0,2126	0,8316	
Phi_1	0,961528	0,0117330	81,95	0,0000	***
Theta_1	-0,858948	0,0426549	-20,14	3,49e-090	***
time	0,00253357	0,0559017	0,04532	0,9639	
Среднее зав. перемен	70,50051	Ст. откл. зав. перемен	81,05481		
Среднее инноваций	-1,045153	Ст. откл. инноваций	53,13791		
R-квадрат	0,999663	Испр. R-квадрат	0,999653		
Лог. правдоподобие	-733,2888	Крит. Акаике	1480,578		
Крит. Шварца	1500,966	Крит. Хеннана-Куинна	1488,863		

	Действ. часть	Мним. часть	Модуль	Частота
AR				
Корень 1	2,1228	0,0000	2,1228	0,0000
Корень 2	20,1764	0,0000	20,1764	0,0000
AR (сезонные)				
Корень 1	1,0400	0,0000	1,0400	0,0000
MA (сезонные)				
Корень 1	1,1642	0,0000	1,1642	0,0000





## 5.2 Проверка нормальности распределения остатков



Распределение частот для uhat2, наблюдения 16-151

Количество столбцов = 11, среднее = -1,04515, ст. откл. = 54,3398

интервал	середина	частота	отн.	инт.
< -185,55	-204,57	1	0,74%	0,74%
-185,55 - -147,52	-166,54	0	0,00%	0,74%
-147,52 - -109,50	-128,51	3	2,21%	2,94%
-109,50 - -71,469	-90,483	4	2,94%	5,88% *
-71,469 - -33,441	-52,455	24	17,65%	23,53% *****
-33,441 - 4,5868	-14,427	46	33,82%	57,35% *****
4,5868 - 42,615	23,601	37	27,21%	84,56% *****
42,615 - 80,642	61,628	12	8,82%	93,38% ***
80,642 - 118,67	99,656	5	3,68%	97,06% *
118,67 - 156,70	137,68	2	1,47%	98,53%
>= 156,70	175,71	2	1,47%	100,00%

Нулевая гипотеза - нормальное распределение:

Хи-квадрат(2) = 25,795 p-значение 0,00000

На всех стандартных уровнях значимости остатки не распределены нормально

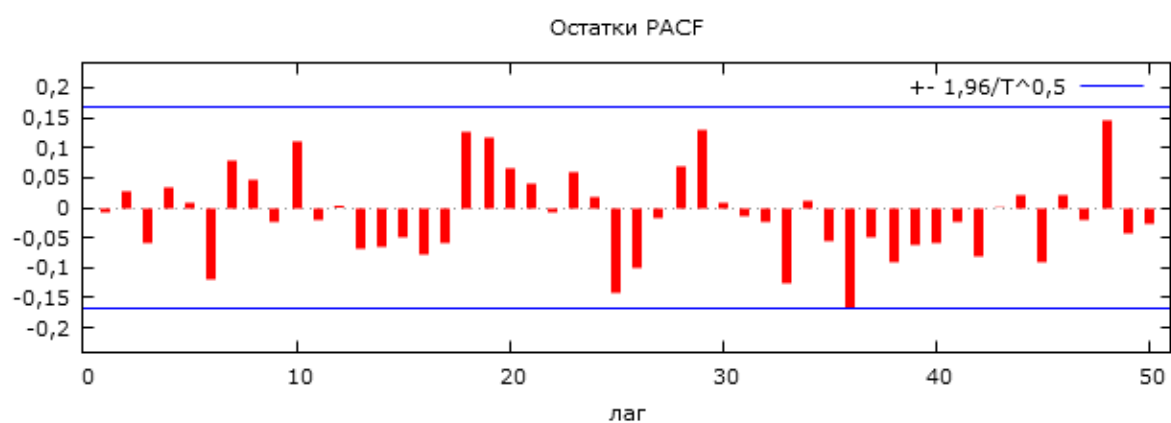
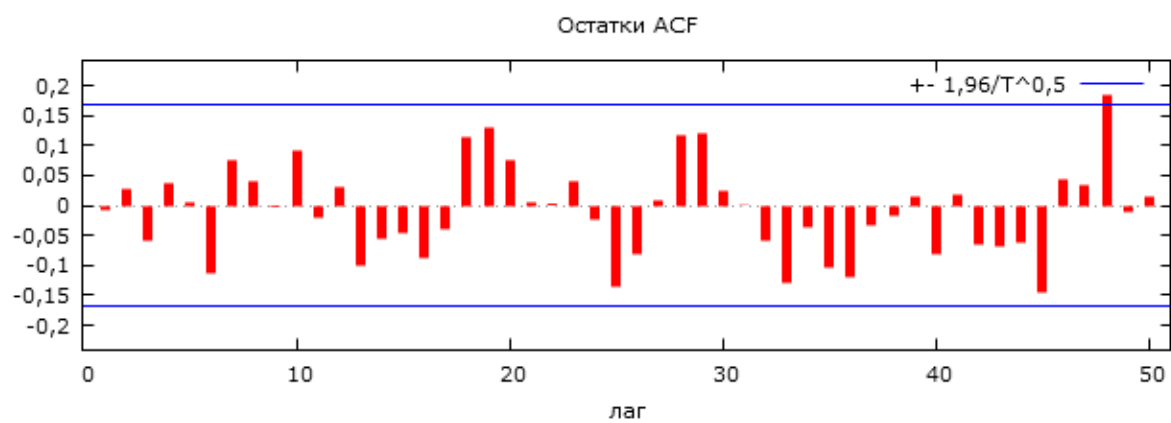
### 5.3 Проверка того, что остатки являются белым шумом

Оценок функции: 112  
Оценок градиента: 56

Модель 1: ARMAX, использованы наблюдения 2008:04-2019:07 (T = 136)  
Оценено с помощью метода ВННН (Berndt, Hall, Hall and Hausman) (условный метод МП)  
Зависимая переменная: (1-L) XXX

	Коэффициент	Ст. ошибка	z	P-значение	
const	0,593578	4,37899	0,1356	0,8922	
phi_1	0,520636	0,0729887	7,133	9,81e-013	***
phi_2	-0,0233477	0,109814	-0,2126	0,8316	
Phi_1	0,961528	0,0117330	81,95	0,0000	***
Theta_1	-0,858948	0,0426549	-20,14	3,49e-090	***
time	0,00253357	0,0559017	0,04532	0,9639	
Среднее зав. перемен	70,50051	Ст. откл. зав. перемен	81,05481		
Среднее инноваций	-1,045153	Ст. откл. инноваций	53,13791		
R-квадрат	0,999663	Испр. R-квадрат	0,999653		
Лог. правдоподобие	-733,2888	Крит. Акаике	1480,578		
Крит. Шварца	1500,966	Крит. Хеннана-Куинна	1488,863		

	Действ. часть	Мним. часть	Модуль	Частота
AR				
Корень 1	2,1228	0,0000	2,1228	0,0000
Корень 2	20,1764	0,0000	20,1764	0,0000
AR (сезонные)				
Корень 1	1,0400	0,0000	1,0400	0,0000
MA (сезонные)				
Корень 1	1,1642	0,0000	1,1642	0,0000



функция автокорреляции ошибок

\*\*\*, \*\*, \* indicate significance at the 1%, 5%, 10% levels  
using standard error  $1/T^{0,5}$

Lag	ACF	PACF	Q-стат. [p-значение]	
1	-0,0071	-0,0071		
2	0,0270	0,0270		
3	-0,0606	-0,0602		
4	0,0357	0,0343		
5	0,0042	0,0078	0,8100	[0,368]
6	-0,1144	-0,1206	2,7008	[0,259]
7	0,0736	0,0784	3,4898	[0,322]
8	0,0404	0,0474	3,7287	[0,444]
9	-0,0020	-0,0231	3,7293	[0,589]
10	0,0908	0,1103	4,9578	[0,549]
11	-0,0197	-0,0194	5,0163	[0,658]
12	0,0295	0,0031	5,1481	[0,742]
13	-0,1001	-0,0680	6,6775	[0,671]
14	-0,0562	-0,0670	7,1633	[0,710]
15	-0,0474	-0,0500	7,5111	[0,756]
16	-0,0877	-0,0780	8,7137	[0,727]
17	-0,0397	-0,0602	8,9627	[0,776]
18	0,1143	0,1250	11,0410	[0,683]
19	0,1302	0,1167	13,7615	[0,544]
20	0,0743	0,0665	14,6557	[0,550]
21	0,0049	0,0388	14,6596	[0,620]
22	0,0027	-0,0083	14,6608	[0,685]
23	0,0414	0,0582	14,9455	[0,726]
24	-0,0224	0,0164	15,0298	[0,775]
25	-0,1365	-0,1428 *	18,1810	[0,638]
26	-0,0825	-0,1007	19,3427	[0,624]
27	0,0090	-0,0178	19,3565	[0,680]
28	0,1167	0,0693	21,7237	[0,596]
29	0,1215	0,1288	24,3139	[0,501]
30	0,0233	0,0069	24,4102	[0,553]
31	0,0009	-0,0141	24,4104	[0,607]
32	-0,0585	-0,0243	25,0276	[0,626]
33	-0,1300	-0,1248	28,1085	[0,512]

На всех стандартных уровнях значимости автокорреляция остатков отсутствует; остатки являются "белым шумом".

## 5.4 Запись уравнения построенной модели

### Точный метод

При построении модели «точным методом» с константой (установлен флажок «Включить константу»), коэффициенты, приведенные в распечатке модели, соответствуют зависимости:

$$X_t - \mu = a_1(X_{t-1} - \mu) + a_2(X_{t-2} - \mu) + \dots + a_p(X_{t-p} - \mu) + \varepsilon_t + b_1\varepsilon_{t-1} + b_2\varepsilon_{t-2} + \dots + b_q\varepsilon_{t-q}$$

или (после несложных преобразований):

$$X_t = a_0 + a_1X_{t-1} + a_2X_{t-2} + \dots + a_pX_{t-p} + \varepsilon_t + b_1\varepsilon_{t-1} + b_2\varepsilon_{t-2} + \dots + b_q\varepsilon_{t-q}$$

где

$$a_0 = \mu \cdot (1 - a_1 - a_2 - \dots - a_p)$$

### Условный метод

При построении модели «Условным» методом коэффициенты, приведенные в распечатке модели, соответствуют зависимости:

$$X_t = a_0 + a_1X_{t-1} + a_2X_{t-2} + \dots + a_pX_{t-p} + \varepsilon_t + b_1\varepsilon_{t-1} + b_2\varepsilon_{t-2} + \dots + b_q\varepsilon_{t-q}$$

### Уравнение с сезонной составляющей (месячные данные)

Пусть  $a_i$  – коэффициенты AR,  $A$  – коэффициент сезонной AR,  $b_j$  – коэффициенты MA,  $B$  – коэффициент сезонной MA.

Для ARMA без единичного корня уравнение модели записывается следующим образом:

$$(1 - a_1\hat{L} - a_2\hat{L}^2 - \dots - a_p\hat{L}^p)(1 - A\hat{L}^{12})X_t = a_0 + \beta t + (1 + b_1\hat{L} + b_2\hat{L}^2 + \dots + b_q\hat{L}^q)(1 + B\hat{L}^{12})\varepsilon_t$$

После раскрытия всех скобок получаем итоговое уравнение модели:

$$X_t = a_0 + \beta t + a_1X_{t-1} + a_2X_{t-2} + \dots + a_pX_{t-p} + AX_{t-12} - La_1X_{t-13} - La_2X_{t-14} - \dots - La_pX_{t-12-p} + \\ + \varepsilon_t + b_1\varepsilon_{t-1} + b_2\varepsilon_{t-2} + \dots + b_q\varepsilon_{t-q} + B\varepsilon_{t-12} + Bb_1\varepsilon_{t-13} + Bb_2\varepsilon_{t-14} + \dots + Bb_q\varepsilon_{t-12-q}$$

Если модель ARIMA с единичным корнем, то вместо  $X_t$  во всех слагаемых будет первая разность  $\Delta X_t$ .

Если модель построена «точным методом...», то константу нужно пересчитать, но учесть наличие сезонной компоненты:

$$a_0 = \mu \cdot (1 - a_1 - a_2 - \dots - a_p) \cdot (1 - A)$$

Модель с трендом; с единичным корнем; AR = 2; MA = 0; Сезонное AR = 1; Сезонное MA = 1.

Оценок функции: 112  
Оценок градиента: 56

Модель 1: ARMAX, использованы наблюдения 2008:04-2019:07 (T = 136)  
Оценено с помощью метода ВННН (Berndt, Hall, Hall and Hausman) (условный метод МП)  
Зависимая переменная: (1-L) XXX

	Коэффициент	Ст. ошибка	z	P-значение	
const	0,593578	4,37899	0,1356	0,8922	
phi_1	0,520636	0,0729887	7,133	9,81e-013	***
phi_2	-0,0233477	0,109814	-0,2126	0,8316	
Phi_1	0,961528	0,0117330	81,95	0,0000	***
Theta_1	-0,858948	0,0426549	-20,14	3,49e-090	***
time	0,00253357	0,0559017	0,04532	0,9639	
Среднее зав. перемен	70,50051	Ст. откл. зав. перемен	81,05481		
Среднее инноваций	-1,045153	Ст. откл. инноваций	53,13791		
R-квадрат	0,999663	Испр. R-квадрат	0,999653		
Лог. правдоподобие	-733,2888	Крит. Акаике	1480,578		
Крит. Шварца	1500,966	Крит. Хеннана-Куинна	1488,863		
	Действ. часть	Мним. часть	Модуль	Частота	
AR					
Корень 1	2,1228	0,0000	2,1228	0,0000	
Корень 2	20,1764	0,0000	20,1764	0,0000	
AR (сезонные)					
Корень 1	1,0400	0,0000	1,0400	0,0000	
MA (сезонные)					
Корень 1	1,1642	0,0000	1,1642	0,0000	

### Уравнение с сезонной составляющей (месячные данные)

Пусть  $a_i$  – коэффициенты AR,  $A$  – коэффициент сезонной AR,  $b_j$  – коэффициенты MA,  $B$  – коэффициент сезонной MA.

Для ARMA без единичного корня уравнение модели записывается следующим образом:

$$(1 - a_1 \hat{L} - a_2 \hat{L}^2 - \dots - a_p \hat{L}^p)(1 - A \hat{L}^{12})X_t = a_0 + \beta t + (1 + b_1 \hat{L} + b_2 \hat{L}^2 + \dots + b_q \hat{L}^q)(1 + B \hat{L}^{12})\varepsilon_t$$

После раскрытия всех скобок получаем итоговое уравнение модели:

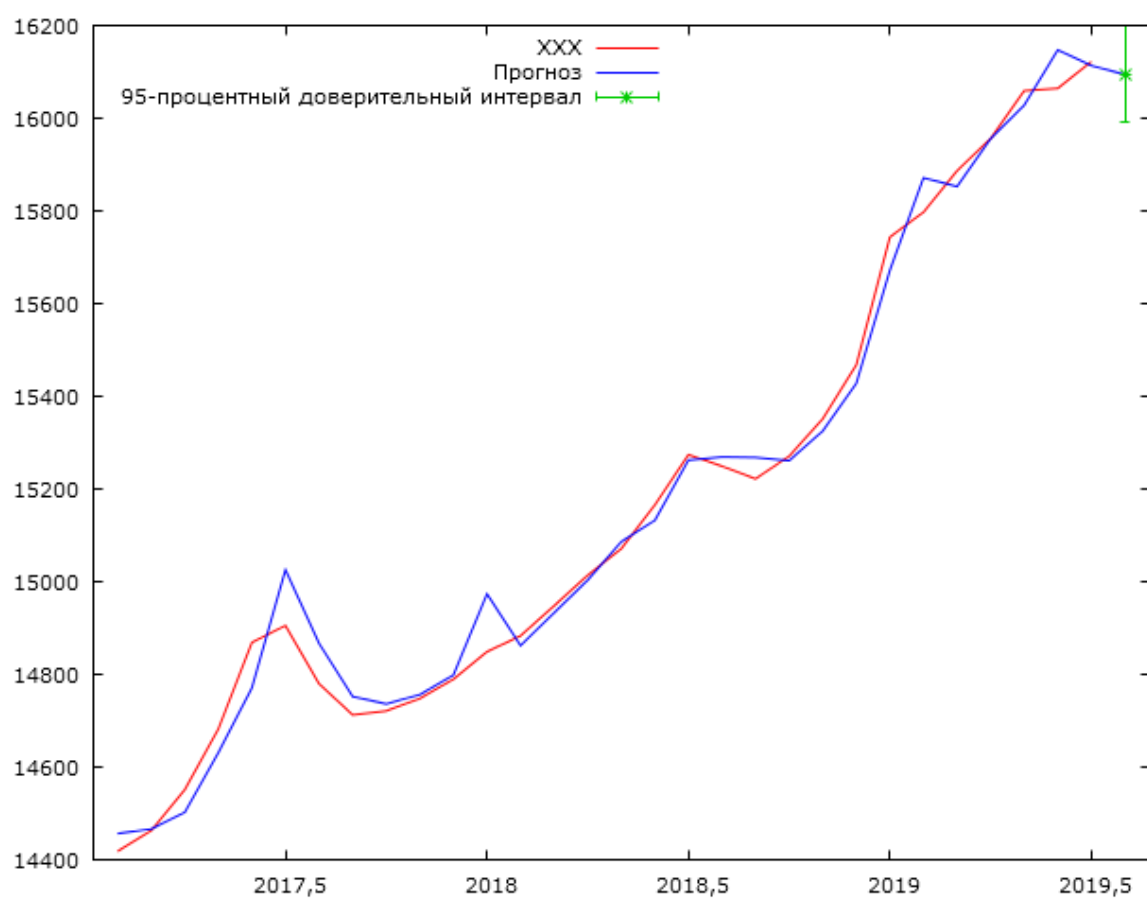
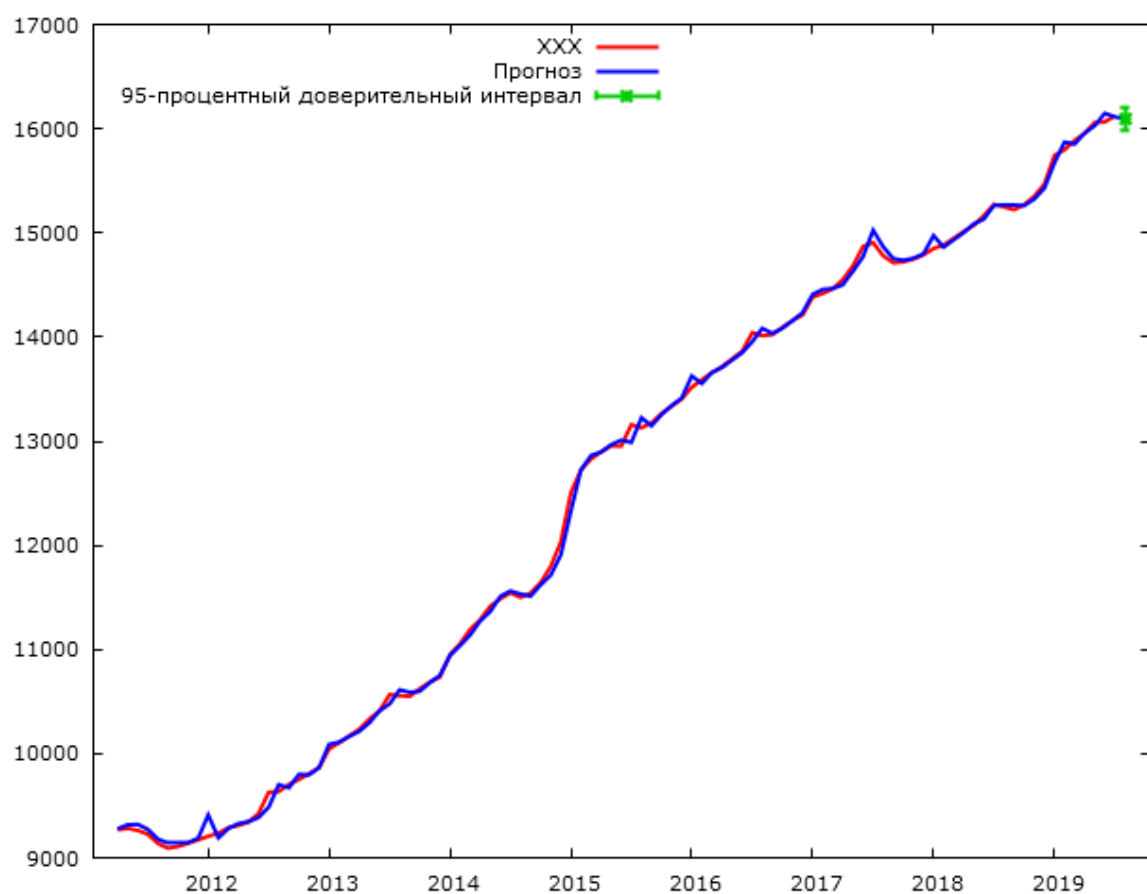
$$X_t = a_0 + \beta t + a_1 X_{t-1} + a_2 X_{t-2} + \dots + a_p X_{t-p} + A X_{t-12} - A a_1 X_{t-13} - A a_2 X_{t-14} - \dots - A a_p X_{t-12-p} + \\ + \varepsilon_t + b_1 \varepsilon_{t-1} + b_2 \varepsilon_{t-2} + \dots + b_q \varepsilon_{t-q} + B \varepsilon_{t-12} + B b_1 \varepsilon_{t-13} + B b_2 \varepsilon_{t-14} + \dots + B b_q \varepsilon_{t-12-q}$$

$$\Delta X_t = 0.593578 + 0.00253357t + 0.520636\Delta X_{t-1} - 0.0233477\Delta X_{t-2} + 0.961528\Delta X_{t-12} \\ - 0.5006\Delta X_{t-13} + 0.022449\Delta X_{t-14} + \varepsilon(t) - 0.858948\varepsilon_{t-12} \quad \eta$$

$$Aa1 = 0.5006 \quad \eta$$

$$Aa2 = -0.022449 \quad \eta$$

## 5.5 Построение прогноза





2019:03	15886,70	15852,71		
2019:04	15956,14	15955,84		
2019:05	16059,24	16027,92		
2019:06	16064,35	16147,22		
2019:07	16121,93	16113,58		
2019:08		16094,08	53,138	15989,93 - 16198,23

Для временного ряда первой разности XXX построена стационарная (так как все корни  $AR > 1$ ) обратимая (так как все корни  $MA > 1$ ) модель с трендом ARMA(14, 12).

На основе полученной модели сделан прогноз, для которого построен 95% доверительный интервал.

## 5.6 Тест на коинтеграцию временных рядов

### Шаг 1: тестирование единичного корня для XXX

Расширенный тест Дики-Фуллера для XXX  
 testing down from 4 lags, criterion Крит. Акаике  
 объем выборки 149  
 нулевая гипотеза единичного корня:  $\alpha = 1$

с константой и трендом  
 включая один лаг для  $(1-L)XXX$   
 модель:  $(1-L)y = b_0 + b_1*t + (\alpha-1)*y(-1) + \dots + e$   
 оценка для  $(\alpha - 1)$ : -0,0454216  
 тестовая статистика:  $\tau_{ct}(1) = -2,31085$   
 асимпт. p-значение 0,4274  
 коэф. автокорреляции 1-го порядка для  $e$ : -0,017

### Шаг 2: тестирование единичного корня для RU

Расширенный тест Дики-Фуллера для RU  
 testing down from 4 lags, criterion Крит. Акаике  
 объем выборки 148  
 нулевая гипотеза единичного корня:  $\alpha = 1$

с константой и трендом  
 включая 2 лага(-ов) для  $(1-L)RU$   
 модель:  $(1-L)y = b_0 + b_1*t + (\alpha-1)*y(-1) + \dots + e$   
 оценка для  $(\alpha - 1)$ : -0,042089  
 тестовая статистика:  $\tau_{ct}(1) = -2,16416$   
 асимпт. p-значение 0,5092  
 коэф. автокорреляции 1-го порядка для  $e$ : -0,020  
 лаг для разностей:  $F(2, 143) = 33,708 [0,0000]$

### Шаг 3: коинтеграционная регрессия

Коинтеграционная регрессия -

МНК, использованы наблюдения 2007:01-2019:07 (T = 151)

Зависимая переменная: XXX

	Коэффициент	Ст. ошибка	t-статистика	P-значение	
const	4666,27	49,5254	94,22	5,18e-134	***
RU	31,1212	2,15558	14,44	4,82e-030	***
time	62,5099	0,802845	77,86	5,38e-122	***
Среднее зав. перемен	10727,61	Ст. откл. зав. перемен	3196,568		
Сумма кв. остатков	6033813	Ст. ошибка модели	201,9134		
R-квадрат	0,996063	Испр. R-квадрат	0,996010		
Лог. правдоподобие	-1014,228	Крит. Акаике	2034,457		
Крит. Шварца	2043,508	Крит. Хеннана-Куинна	2038,134		
Параметр rho	0,890801	Стат. Дарбина-Вотсона	0,215855		

### Шаг 4: тестирование единичного корня для uhat

Расширенный тест Дики-Фуллера для uhat

testing down from 4 lags, criterion Крит. Акаике

объем выборки 147

нулевая гипотеза единичного корня:  $\alpha = 1$

тест без константы

включая 3 лага(-ов) для  $(1-L)uhat$

модель:  $(1-L)y = (\alpha-1)*y(-1) + \dots + e$

оценка для  $(\alpha - 1)$ : -0,180937

тестовая статистика:  $\tau_{ct}(2) = -4,50688$

асимпт. p-значение 0,005441

коэф. автокорреляции 1-го порядка для e: 0,004

лаг для разностей:  $F(3, 143) = 6,663 [0,0003]$

There is evidence for a cointegrating relationship if:

- (a) The unit-root hypothesis is not rejected for the individual variables, and
- (b) the unit-root hypothesis is rejected for the residuals (uhat) from the cointegrating regression.

На уровне значимости 1% гипотеза о наличии стохастического тренда для рядов XXX и RU не отвергается, а для ряда

$$u_t = XXX_t - 31.1212RU_t - 62.5099t - 4666.27$$

отвергается; следовательно, присутствует коинтеграционная связь между рядами XXX и RU.

Линейная комбинация рядов XXX и RU

$$Z_t = XXX_t - 31.1212RU_t$$

не содержит стохастического тренда и является стационарной относительно линейного тренда.